

ИНСТИТУТ  
ЯДЕРНОЙ ФИЗИКИ СОАН СССР

ПРЕПРИНТ ИЯФ 76 - 91

Э.А.Кураев, Г.В.Меледин

РАДИАЦИОННЫЕ ПОПРАВКИ К ПРОЦЕССУ  $e^+e^- \rightarrow \mu^+\mu^-$   
С УЧЁТОМ ИЗЛУЧЕНИЯ ЖЕСТКИХ ФОТОНОВ

Новосибирск

1976

РАДИАЦИОННЫЕ ПОПРАВКИ К ПРОЦЕССУ  $e^+e^- \rightarrow \mu^+\mu^-$   
С УЧЁТОМ ИЗЛУЧЕНИЯ ЖЕСТКИХ ФОТОНОВ

Э.А.Кураев, Г.В.Меледин

Процесс аннигиляции пары  $e^+e^-$  в пару  $\mu^+\mu^-$  подчиняется закону сохранения импульса и энергии. Излучение жестких фотонов ведет к нарушению этого закона. В работе изучается излучение жестких фотонов в сечении процесса аннигиляции пары  $e^+e^-$  в пару  $\mu^+\mu^-$ . Оно интересует в связи с проблемой асимметрии, в связи с тем, что в сечении процесса аннигиляции пары  $e^+e^-$  в пару  $\mu^+\mu^-$  имеется асимметрия, обусловленная излучением жестких фотонов.

В  $\alpha^3$  порядке теории возмущений получены выражения для зарядово-четного и зарядово-нечетного вкладов в дифференциальное сечение процесса аннигиляции  $e^+e^-$  пары в пару  $\mu^+\mu^-$ .

Вклад от излучения виртуальных и мягких в с.ц.и.  $e^+e^-$  пучков ( $\omega/\epsilon < \Delta$ ,  $\epsilon$  - энергия одного из пучков в с.ц.и.) найден как точная функция  $m_\mu/\epsilon$  в пренебрежении членами  $(m_e/\epsilon)^2$ ,  $(m_e/m_\mu)^2$ .

Получены различные распределения в случае, когда дополнительный фотон является жестким в с.ц.и. в пределе  $(m_\mu/\epsilon)^2 \ll 1$ .

В этом пределе даны выражения для полного сечения и зарядовой асимметрии, не зависящие от доли энергии  $\Delta$ , уносимой фотонами. Причём оказывается, что зарядовая асимметрия для полной энергии в с.ц.и. пучков  $2\epsilon = 3$  ГэВ достигнет 5 %.

Важно отметить, что в работе [3] были рассмотрены и ряды других авторов [5]. При этом были исправлены недостатки, содержащиеся в [1]. В работах [3] выполнялся ряд в коррекциях зарядовых асимметрий.

где  $(\partial\sigma/\partial\Omega)_{\text{без}}$  - дифференциальное сечение актива  $\mu^+$  на угол под углом  $\theta$  к оси  $(\vec{p}_1)$  пучков. Члены порядка  $m_\mu^2, m_\mu^3, \Delta^2$  при этом опускались. Оказалось, что  $\delta$  достигает 15% для  $2\epsilon = \lambda = 3$  ГэВ,  $2\Delta/\lambda = 0.1$  (коэффициент взаимодействия  $\sim 1\%$ ). В работах Берендея и др. [4] сделаны попытки начи-

## Введение

Процесс аннигиляции  $e^+e^-$  пары в пару  $\mu^+\mu^-$  с (без) излучением дополнительного фотона является одним из процессов квантовой электродинамики, детально изучавшимся как экспериментально, так и теоретически на протяжении многих лет [I-6]. Он интересен в связи с проблемой  $\mu$ -е универсальности, в связи с возможностью получить информацию о нейтральных токах в слабых взаимодействиях, проверкой квантовой электродинамики и т.д. В последнее время интерес к этому процессу возрос в связи с опытами на встречных  $e^+e^-$  пучках с образованием адронов и частиц семейства  $\psi$ , где он выступает в качестве фонового, а также нормировочного процесса.

Детальное теоретическое рассмотрение процесса  $e^+e^- \rightarrow \mu^+\mu^-$  в рамках квантовой электродинамики (*QED*) в  $\alpha^3$  порядке было проведено в работе А.И.Никишова [1]. Им были получены выражения для дифференциального сечения как точные, так и в пределе больших энергий ( $\sqrt{s}$ ) начальных частиц, учитывающие вклад излучения виртуальных и мягких в с.ц.и. реальных  $0 < \omega < \Delta E \ll \epsilon$  фотонов. В жесткой части спектра фотона ряд распределений были впервые рассмотрены в работе В.Н.Байера и В.А.Хозе [2]. Позже этот процесс в связи с возможностью на фоне электромагнитных взаимодействий выделить вклад слабых взаимодействий был рассмотрен И.Б.Хрипловичем и рядом других авторов [3]. (При этом были исправлены некоторые неточности, содержащиеся в [1]. В работах [3] вычислялся вклад в коэффициент зарядовой асимметрии

$$z = \frac{d\sigma(\theta)/dO_{\mu^+} - d\sigma(\pi-\theta)/dO_{\mu^+}}{d\sigma(\theta)/dO_{\mu^+} + d\sigma(\pi-\theta)/dO_{\mu^+}},$$

где  $d\sigma(\theta)/d\Omega_{\mu^+}$  - дифференциальное сечение вылета  $\mu^+$  мезона под углом  $\theta$  к оси ( $\vec{p}$ ) пучков. Члены порядка  $m_e^2/s, m_\mu^2/s$  при этом опускались. Оказалось, что  $\zeta$  достигает 15% для  $2\varepsilon = \sqrt{s} = 3$  ГэВ,  $2\Delta\varepsilon/\sqrt{s} = 0.1$  (вклад слабых взаимодействий  $\sim 1\%$ ). В работах Берендса и др. [4] сделана попытка нали-

сать точные выражения для вкладов в с-четную и с-нечетную части дифференциального сечения с учетом виртуальных и мягких квантов, однако, окончательных результатов, удобных в практических применениях в ней не содержится. Что касается жесткой части спектра фотона, то в этих работах имеются лишь результаты численных расчетов для различных наборов пороговых энергий для фотонов  $\Delta\omega$  и энергий пучков  $\epsilon$ . Удобных для практики выражений на таком пути получить не удается в силу громоздкости выражений. Однако, если интересоваться областью больших энергий пучков, то при расчете радиационных поправок в  $\alpha^3$  приближении вполне оправдано ограничиться более простыми выражениями, получаемыми в пренебрежении членами  $\sim(m_e/\epsilon)^2$ ,  $(m_\mu/\epsilon)^2$ ,  $(m_e/m_\mu)^2$ . Действительно, для энергий  $\epsilon \geq 1 \text{ ГэВ}$  отброшенные слагаемые становятся меньше радиационных поправок  $\sim\omega^4$ .

В I-й части настоящей работы мы, прямым расчетом, пренебрегая лишь членами порядка  $(m_e/\epsilon)^2$ ,  $(m_e/m_\mu)^2$  по сравнению с единицей, получаем вклад в с-четную и с-нечетную части  $d\sigma/d\Omega_{\mu^+}$ , учитывая поправки от излучения виртуальных и мягких реальных в с.ц.и. фотонов как точную функцию  $m_\mu/\epsilon$ . (См. формулы (8), (16)). В пределе  $m_\mu/\epsilon \rightarrow 0$  наш результат совпадает с результатом И.Б.Хрипловича и др. [3]. Полученные формулы справедливы и в области малых углов вылета  $\mu^+$  к оси пучков.

В 2-й части рассмотрено излучение жесткого фотона в пределе  $(m_\mu/\epsilon)^2 \ll 1$ . В этом пределе удается получить сравнительно компактные аналитические выражения для распределения по энергиям конечных частиц (Далиц-плот (26,27)), сечения по энергии и углу вылета  $\mu^+$  мезона (34), (35) и распределения только по углу вылета  $\mu^+$  мезона к оси пучка (37,39), а также вклад в полное сечение как функции параметров  $\Delta\omega$  — минимальной энергии фотона в с.ц.и. и энергии пучка  $\epsilon$  (31). Приводятся также аналитические выражения для с-четной и с-нечетной части распределения по углу вылета  $\mu^+$  мезона к оси пучков (40), (38), не зависящие от доли энергии, уносимой фотонами. Коэффициент зарядовой асимметрии  $\zeta$  оказывается

при этом не зависящей от энергии функцией угла, величина его не превосходит 5%. Получены также полное сечение аннигиляции в мюоны с точностью до членов  $\alpha^3$  (32) и поправка к борновскому дифференциальному сечению, учитывающая углы расколлинеарности  $\mu$ -мезонов, не превышающие некоторого  $\Delta\theta$  (приложение IX).

I. Реакция  $e^+(\rho_+) + e^-(\rho_-) \rightarrow \mu^+(q_+) + \mu^-(q_-)$  в низшем порядке т.в. описывается матричным элементом Фейнмановской диаграммы рис. Ia:  $M_0 = \frac{4\pi\alpha}{S} i\bar{v}(\rho_+)\gamma_\mu v(\rho_-)\bar{\mu}(q_-)\gamma_\mu v(q_+)$ ,

$$S = (\rho_+ + \rho_-)^2 = 4\epsilon^2; \quad t = (\rho_- - q_-)^2; \quad u = (\rho_+ - q_+)^2;$$

чему соответствует (после усреднения по спиновым состояниям начальных частиц и суммирования по состояниям конечных; нормировка спиноров и т.д. в приложении I) сечение в низшем порядке т.в.

$$\frac{d\sigma_0}{d\Omega_{\mu^+}} = \frac{\alpha^2}{4S} \beta / (2 - \beta^2 + \beta^2 \cos^2 \theta). \quad (1)$$

Здесь и везде мы будем систематически опускать члены  $\sim(m_e/m_\mu)^2$ ,  $(m_e/\epsilon)^2$ , но величину  $(m_\mu/\epsilon)^2 \equiv (m/\epsilon)^2$  считаем порядка единицы;  $\theta$  — угол в с.ц.и. между импульсами  $\mu^+$  мезона и электрона;  $\beta^2 = 1 - m^2/\epsilon^2$ ,  $\epsilon$  — энергия электрона в с.ц.и.

Фейнмановские диаграммы рис. Iб дают поправку к зарядово-четной части дифференциального сечения. Матричный элемент совокупности диаграмм рис. Ia, б записывается в виде

$$-M_0 \Pi^{(e)} - M_0 \Pi^{(\mu)} + \frac{4\pi\alpha}{S} i\bar{v}(\rho_+) [\gamma_\mu (1 + F_1^{(e)}) + \frac{1}{\sqrt{m_e}} [\hat{\gamma}_\mu \hat{\rho}_+ + \hat{\rho}_-] F_2^{(e)}] u(\rho_-) \bar{\mu}(q_-) [\gamma_\mu (1 + F_1^{(\mu)}) - \frac{1}{\sqrt{m_\mu}} [\hat{\gamma}_\mu \hat{q}_+ + \hat{q}_-] F_2^{(\mu)}] v(q_+), \quad (2)$$

где  $\Pi^{(e)}$ ,  $\Pi^{(\mu)}$  соответствуют вкладам электронной и  $\mu$ -мезонной петель в собственно-энергетическую часть фотонной функции Грина

$$\Pi = \frac{1}{3} (\hat{\gamma}_{\mu\nu} - \frac{\hat{\rho}_\mu \hat{\rho}_\nu}{\hat{\rho}^2}) \frac{(-i4\pi\alpha)}{(2\pi)^4} \int \frac{d^4k S_0 \hat{\gamma}_\mu (\hat{\rho} + \hat{k} - m) \hat{\gamma}_\nu (\hat{k} - m)}{[(\hat{\rho} + \hat{k})^2 - m^2](\hat{k}^2 - m^2)},$$

$$Re \Pi^{(\mu)} = \frac{\alpha}{\pi} \left[ \frac{8}{9} - \frac{1}{3} \beta^2 + \beta \left( \frac{1}{2} - \frac{1}{6} \beta^2 \right) \ln \frac{1-\beta}{1+\beta} \right]; \quad (3)$$

$$Re \Pi^{(e)} = \frac{\alpha}{\pi} \left( \frac{5}{3} - \frac{1}{3} \ln \frac{S}{m_e^2} \right); \quad \rho = \rho_+ + \rho_-.$$

вершинные функции в канале аннигиляции имеют вид

$$F_1^{(\mu)} = \frac{\alpha}{\pi} \left\{ (\ln \frac{m}{\lambda} - 1) \left( 1 + \frac{1+\beta^2}{2\beta} \ln \frac{1-\beta}{1+\beta} \right) + \frac{1+\beta^2}{2\beta} \left[ \frac{\pi^2}{3} - \frac{1}{4} \ln^2 \left( \frac{1-\beta}{1+\beta} \right) + \ln \left( \frac{1-\beta}{1+\beta} \right) \ln \left( \frac{2\beta}{1+\beta} \right) - \int_0^1 \frac{dx}{x} \ln(1-x) \right] + \frac{1}{4\beta} \ln \frac{1-\beta}{1+\beta} \right\}, \quad (4)$$

$$F_2^{(\mu)} = \frac{\alpha}{\pi} \frac{1-\beta^2}{4\beta} \ln \frac{1-\beta}{1+\beta},$$

$$F_1^{(e)} = \frac{\alpha}{\pi} \left[ (\ln \frac{m_e}{\lambda} - 1) \left( -\ln \frac{s}{m_e^2} + 1 \right) + \frac{1}{3} \pi^2 - \frac{1}{4} \ln^2 \left( \frac{s}{m_e^2} \right) - \frac{1}{4} \ln \frac{s}{m_e^2} \right],$$

$$F_2^{(e)} = 0,$$

$\lambda$  - "масса" фотона. Интерференция матричных элементов диаграмм Ia и Ib приводит к следующему вкладу в с-четную часть сечения

$$\left( \frac{d\sigma}{d\Omega_\mu} \right)^{\text{even}}_{\text{virt}} = \frac{d\sigma_0}{d\Omega_\mu} \left\{ -2\text{Re}\Pi^{(\mu)} - 2\text{Re}\Pi^{(e)} + 2F_1^{(\mu)} + 2F_1^{(e)} + \frac{4F_2^{(\mu)}}{2-\beta^2-\beta^2\cos^2\theta} \right\}. \quad (5)$$

Подставляя приведенные выше величины в (5), получим для вклада виртуальных поправок в зарядово-четную часть дифференциального сечения:

$$\begin{aligned} \left( \frac{d\sigma}{d\Omega_\mu} \right)^{\text{even}}_{\text{virt}} &= \frac{\alpha^3 \beta}{2\pi s} (2-\beta^2+\beta^2\cos^2\theta) \left\{ -\frac{5}{3} + \frac{1}{3} \ln \frac{s}{m_e^2} - \frac{8}{3} + \frac{1}{3} \beta^2 - \beta \left( \frac{1}{2} - \frac{1}{6} \beta^2 \right) \ln \frac{1-\beta}{1+\beta} + \right. \\ &\quad (1 - \ln \frac{s}{m_e^2}) \left( \ln \frac{m_e}{\lambda} - 1 \right) + \frac{\pi^2}{3} - \frac{1}{4} \ln^2 \left( \frac{s}{m_e^2} \right) - \frac{1}{4} \ln \frac{s}{m_e^2} + (\ln \frac{m}{\lambda} - 1) \left( 1 + \frac{1+\beta^2}{2\beta} \ln \frac{1-\beta}{1+\beta} \right) + \\ &\quad + \frac{1+\beta^2}{2\beta} \left[ \frac{\pi^2}{3} - \frac{1}{4} \ln^2 \left( \frac{1-\beta}{1+\beta} \right) + \ln \frac{1-\beta}{1+\beta} \ln \frac{2\beta}{1+\beta} - \int_0^1 \frac{dx}{x} \ln(1-x) \right] + \frac{1}{4\beta} \ln \frac{1-\beta}{1+\beta} + \\ &\quad \left. + \frac{1-\beta^2}{4\beta (2-\beta^2+\beta^2\cos^2\theta)} \ln \frac{1-\beta}{1+\beta} \right\}. \end{aligned} \quad (6)$$

Излучение мягкого в с.ц.и. фотона (с частотой  $\omega < \Delta\epsilon$ ) описывается диаграммами рис. Ib. Квадрат модуля соответствующего мат-

ричного элемента, просуммированный по спиновым состояниям всех частиц

$$\begin{aligned} \sum_{\text{спин}} |M|^{ee \rightarrow \mu\bar{\nu}\gamma/2} &= \sum_{\text{спин}} |M_0|^2 \left( \frac{p_-}{p_k} + \frac{q_+}{q_k} - \frac{p_+}{p_k} - \frac{q_-}{q_k} \right)^2 = \\ &= \sum_{\text{спин}} |M_0|^2 \left\{ \frac{m_e^2}{(p_k)^2} + \frac{m_e^2}{(q_k)^2} + \frac{m^2}{(p_k)^2} + \frac{m^2}{(q_k)^2} - \frac{2(p_+ p_-)}{(p_k)(p_k)} - \frac{2(q_+ q_-)}{(q_k)(q_k)} \right\} + \\ &+ \sum_{\text{спин}} |M_0|^2 \left\{ \frac{2(p_+ q_-)}{(p_k)(q_k)} + \frac{2(p_+ q_-)}{(p_k)(q_k)} - \frac{2(p_+ q_-)}{(p_k)(q_k)} - \frac{2(p_+ q_-)}{(p_k)(q_k)} \right\} \end{aligned}$$

естественным образом разбивается на сумму двух слагаемых: четного и нечетного при перестановке импульсов  $\mu$  - мезонов:  $q_+ \leftrightarrow q_-$ , которые дают вклад в зарядово-четную и нечетную части сечения соответственно.

Пользуясь значениями интегралов (см.приложение)

$$-\frac{4\pi\alpha}{16\pi^3} \int \frac{m^2 d^3 k}{\omega(q_+ k)^2} = -\frac{\alpha}{\pi} \left[ \ln \left( \frac{2\Delta\epsilon}{\lambda} \right) - \frac{1}{2\beta} \ln \frac{1+\beta}{1-\beta} \right]$$

$$-\frac{4\pi\alpha}{16\pi^3} \int \frac{(q_+ q_-) d^3 k}{\omega(q_+ k)(q_- k)} = -\frac{\alpha}{\pi} \frac{1+\beta^2}{2\beta} \left[ \ln \frac{1+\beta}{1-\beta} \ln \left( \frac{2\Delta\epsilon}{\lambda} \right) - \right.$$

$$\left. - \frac{1}{4} \ln^2 \left( \frac{1+\beta}{1-\beta} \right) + \ln \frac{1-\beta}{1+\beta} \ln \frac{2\beta}{1+\beta} + \int_0^1 \frac{dx}{x} \ln(1-x) \right],$$

где  $\omega = \sqrt{k^2 + \lambda^2}$  - частота фотона в с.ц.и.  $e^+ e^-$  пары, получим для вклада в с-четную часть сечения от излучения мягких фотонов

$$\begin{aligned} \left( \frac{d\sigma}{d\Omega_\mu} \right)^{\text{even}}_{\text{soft}} &= \frac{\alpha^3 \beta}{2\pi s} (2-\beta^2+\beta^2\cos^2\theta) \left\{ \left( \ln \frac{s}{m_e^2} - 1 \right) \ln \left( \frac{\Delta\epsilon m_e}{\lambda c} \right) + \right. \\ &+ \left[ \frac{1+\beta^2}{2\beta} \ln \left( \frac{1+\beta}{1-\beta} \right) - 1 \right] \ln \left( \frac{2\Delta\epsilon}{\lambda} \right) + \frac{1}{2\beta} \ln \frac{1+\beta}{1-\beta} + \frac{1}{4} \ln^2 \left( \frac{s}{m_e^2} \right) - \frac{\pi^2}{6} + \\ &+ \left. \frac{1+\beta^2}{2\beta} \left[ -\frac{1}{4} \ln^2 \left( \frac{1+\beta}{1-\beta} \right) + \ln \frac{1-\beta}{1+\beta} \ln \left( \frac{2\beta}{1+\beta} \right) + \int_0^1 \frac{dx}{x} \ln(1-x) \right] \right\}. \end{aligned} \quad (7)$$

Суммируя борновское сечение с (6), (7), получим для зарядово-четной части дифференциального сечения процесса  $e^+e^- \rightarrow \mu^+\mu^-$  с учетом виртуальных поправок и поправки от излучения реального фотона частоты  $\omega \leq \Delta \epsilon$  в с.ц.и.:

$$\begin{aligned} \left( \frac{d\sigma}{dO_\mu} \right)^{\text{even}} = & \frac{\alpha^2 \beta}{4S} (2 - \beta^2 + \beta \cos^2 \theta) \left\{ 1 + \frac{2\alpha}{\pi} \left[ \ln \left( \frac{\Delta \epsilon}{\epsilon} \right) \left( 2 + \ln \frac{s}{m_e^2} + \frac{1+\beta}{2\beta} \ln \frac{1+\beta}{1-\beta} \right) + \right. \right. \\ & + \frac{13}{12} \ln \frac{s}{m_e^2} + \left( \beta - \frac{1}{2} - \frac{1}{6} \beta^2 + \frac{3}{4\beta} \right) \ln \frac{1+\beta}{1-\beta} + \ln \frac{1+\beta}{2} + \frac{1+\beta}{\beta} \left[ \frac{1}{2} \ln \frac{1+\beta}{1-\beta} \ln \frac{1+\beta}{2} - \right. \\ & \left. \left. - \ln \frac{1+\beta}{1-\beta} \ln \beta + \frac{\pi^2}{12} - \int_0^{\infty} dx \ln(1-x) \right] + \frac{\pi^2}{6} + \frac{1}{3} \beta^2 - \frac{31}{9} - \frac{1-\beta^2}{4\beta(2-\beta^2+\beta^2 \cos^2 \theta)} \ln \frac{1+\beta}{1-\beta} \right] \right\}. \end{aligned} \quad (8)$$

Приступим теперь к вычислению зарядово-нечетного вклада. С-нечетный вклад происходит от интерференции матричных элементов борновской диаграммы, в которой в промежуточном состоянии  $s$  — канала имеется один фотон и диаграмм рис. 2а, б с двумя  $\gamma$  в  $s$ -канале, причем вклад в сечение от диаграммы рис. 2б связан со вкладом диаграммы рис. 2а следующим соотношением

$$\frac{d\sigma_a(s, t)}{dO_\mu} = - \frac{d\sigma_a(s, u)}{dO_\mu}, \quad (9)$$

поэтому мы ограничимся рассмотрением диаграммы 2а, вклад которой имеет вид:

$$\left( \frac{d\sigma_a}{dO_\mu} \right)^{\text{odd}} = \frac{16\beta \cdot 4\pi\alpha^3}{(16\pi)^2 s^2} 2R e R, \quad R = \sum_{\text{спин}} \frac{s}{64\pi\alpha^3} \text{Re}(-iM_{2a}) \text{Im}M_{2a}. \quad (10)$$

Входящий в величину  $R$  матричный элемент диаграммы равен

$$-iM_{2a} = -i \frac{\alpha^2}{\pi^2} \int d^4k \frac{\bar{u}(q) T v(q_+) \bar{v}(p) Z u(p)}{(\Delta)(Q)(+)(-)}, \quad (II)$$

где

$$\begin{aligned} T &= \gamma_\alpha (k - \hat{Q} + m) \gamma_\beta; \quad Z = \gamma_\beta (k - \Delta) \gamma_\alpha; \\ (\Delta) &\equiv (k - \Delta)^2 - m_e^2; \quad (Q) \equiv (k - Q)^2 - m_e^2; \quad (\pm) \equiv (k \mp p)^2 - \lambda^2; \quad (IIa) \end{aligned}$$

$$\Delta = \frac{1}{2}(p_+ - p_-); \quad P = \frac{1}{2}(p_+ + p_-); \quad Q = \frac{1}{2}(q_+ - q_-).$$

При вычислении  $M_{2a}$  встречаются интегралы

$$J, J_\mu, J_{\mu\nu} = - \frac{i}{\pi^2} \int \frac{1, k_\mu, k_\mu k_\nu}{(\Delta)(Q)(+)(-)} d^4k, \quad (12)$$

для которых, пользуясь симметрией подинтегрального выражения, запишем в виде

$$J_\mu = J_A \gamma_\mu + Q_\mu J_Q$$

$$J_{\mu\nu} = K_0 g_{\mu\nu} + K_P P_\mu P_\nu + K_A \Delta_\mu \Delta_\nu + K_Q Q_\mu Q_\nu + K_X Q_\mu A_\nu + Q_\mu A_\nu. \quad (12a)$$

Величину  $R$  (см. (10)) удобно выразить через коэффициенты  $J_A$ ,  $J_Q$ , и коэффициенты при определенных тензорных структурных  $J_{\mu\nu}$ :

$$\begin{aligned} R &= \frac{1}{16} S_P (g + m) T (g - m) \gamma_\mu S_P P_\mu Z_P \gamma_\mu = \\ &= P_1 J + P_2 J_A + P_3 J_Q + P_4 K_0 + P_5 K_A + P_6 K_Q + P_7 K_P + P_8 K_X, \end{aligned} \quad (13)$$

где полиномы  $P_i$  имеют вид

$$P_1 = 8[-\Delta^6 - \Delta^4 \tau^2 + 2\tau^3 + (\Delta^4 - 2\Delta^2 \tau)m^2]; \quad P_2 = 16(\Delta^4 \tau - \tau^3 + \Delta^2 \tau m^2);$$

$$P_3 = 8[2\Delta^4 \tau - 2\tau^3 + m^2(\Delta^4 + 2\Delta^2 \tau - \tau^2) + \Delta^2 m^4], \quad P_4 = 8[5\Delta^4 - 6\Delta^2 \tau + 5m^2 \tau^2 - 5m^4 \Delta^2];$$

$$P_5 = 8[\Delta^6 - 2\Delta^4 \tau + \Delta^2 (\tau^2 - m^2 \Delta^2)]; \quad P_6 = 8(-\Delta^6 - 2\Delta^4 \tau - \Delta^2 \tau^2 + \Delta^4 m^2); \quad (13a)$$

$$P_7 = 8[\Delta^6 - 2\Delta^4 \tau + \Delta^2 \tau^2 + m^2(-\Delta^4 - 2\Delta^2 \tau + 2\tau^2) - 2\Delta^2 m^4];$$

$$P_8 = 8[-\Delta^6 + \Delta^4 \tau - 3\Delta^2 \tau^2 + 3\tau^3 - m^2(\Delta^4 + 3\Delta^2 \tau)],$$

здесь  $\tau = \Delta Q = \frac{1}{2}(u - t)$ .

Коэффициенты  $J_Q$ ,  $J_A$ ,  $K_i$  находятся проще всего стандартной процедурой домножения (12a) на  $\gamma_\mu$ ,  $Q_\mu$ ,  $P_\mu$  и сводятся к интегралам, содержащим <sup>меньшее</sup> количество сомножителей в знаменателе (12). Выражения для них даны в приложении IV, мы же приведем здесь лишь окончательное выражение для величины  $R(s, t)$  (см. 10, 13)

$$\begin{aligned} R &= 4(\tau - \Delta^2)(2\tau - m^2) F + 16(\tau - \Delta^2)(\tau^2 + \Delta^4 - m^2 \Delta^2) J + \\ &+ 4(\Delta^4 - 3\Delta^2 \tau + 2\tau^2 - m^2 \tau) F_Q + 4(2\Delta^4 - 2\Delta^2 \tau + 2\tau^2 - m^2 \Delta^2) F_A + \\ &+ 4(\Delta^4 + \Delta^2 \tau + \Delta^2 m^2) G_Q + 4(-\Delta^4 + \tau^2 - 2\Delta^2 m^2) H_Q, \end{aligned} \quad (14)$$

где

$$J = -\frac{1}{s(m^2-t)} \left( \ln \frac{m^2-t}{m^2} + \ln \frac{m^2-t}{m_e^2} \right) \ln \frac{s}{\lambda^2}; \quad F_\Delta = \frac{1}{s} \left[ \frac{\pi^2}{6} + \frac{1}{2} \ln^2 \left( \frac{s}{m_e^2} \right) \right];$$

$$F_Q = \frac{1}{s\beta} \left\{ \ln \frac{s}{m^2} \ln \frac{1+\beta}{1-\beta} + 2F \left( \frac{1+\beta}{2} \right) - 2F \left( \frac{1-\beta}{2} \right) - \frac{1}{2} \ln^2 \left( \frac{1+\beta}{1-\beta} \right) - \frac{\pi^2}{6} \right\}; \quad (I4a)$$

$$H_Q = \frac{1}{t} \ln \frac{m^2-t}{m^2}; \quad F = \frac{-1}{2(m^2-t)} \left\{ \left( \ln \frac{m^2-t}{m^2} + \ln \frac{m^2-t}{m_e^2} \right) \ln \frac{s}{m^2} - \ln^2 \left( \frac{m^2-t}{m^2} \right) \right.$$

$$\left. + \frac{\pi^2}{3} + \frac{1}{2} \ln^2 \left( \frac{m^2}{m_e^2} \right) + 2 \int_{1-x}^0 \ln x \right\};$$

$$G_Q = \frac{1}{s-4m^2} (-2 \ln \frac{s}{m^2} + sF_Q).$$

Окончательно с-нечетная часть дифференциального сечения, происходящая от излучения виртуальных фотонов, имеет вид

$$\left( \frac{d\sigma}{dO_\mu} \right)_{virt}^{odd} = \frac{\alpha^3 \beta}{2\pi s} D; \quad D = \frac{1}{s} [R(s, t) - R(s, u)] =$$

$$= -(2-\beta^2+\beta^2 \cos^2 \theta) \ln \frac{1-\beta \cos \theta}{1+\beta \cos \theta} \ln \frac{s}{\lambda^2} + \frac{1}{4} (1-2\beta^2+\beta^2 \cos^2 \theta) \left( \frac{s}{t} \ln \frac{m^2-t}{m^2} - \frac{s}{u} \ln \frac{m^2-u}{m^2} \right) +$$

$$+ \frac{\cos \theta}{2\beta} (-2 \ln \frac{s}{m^2} + sF_Q) - \frac{\beta \cos \theta}{2} (2+\beta^2) sF_Q - \beta \cos \theta sF_\Delta - \frac{m^2/(m^2-t)}{m^2/(m^2-u)}$$

$$- \frac{4m^2}{s} \left[ -\frac{1}{2} (\ln s) \ln \frac{m^2-t}{m^2-u} + \frac{1}{4} \ln^2 \left( \frac{m^2-t}{m^2} \right) - \frac{1}{4} \ln^2 \left( \frac{m^2-u}{m^2} \right) - \frac{1}{2} \int_{1-x}^0 \ln x \right] -$$

$$- 2\beta(\cos \theta) \left[ -\frac{1}{2} \ln \left( \frac{s}{m^2} \right) \ln \frac{m^2}{m_e^2} - \frac{\pi^2}{6} - \frac{1}{4} \ln^2 \left( \frac{m^2}{m_e^2} \right) - \frac{1}{2} \ln^2 \left( \frac{s}{m^2} \right) + \frac{m^2/(m^2-t)}{m^2/(m^2-u)} \right]$$

$$+ \frac{1}{4} \ln^2 \left( \frac{m^2-t}{s} \right) + \frac{1}{4} \ln^2 \left( \frac{m^2-u}{s} \right) - \frac{1}{2} \int_0^1 \frac{dx}{1-x} \ln x - \frac{1}{2} \int_0^1 \frac{dx}{1-x} \ln x]. \quad (I5)$$

Чтобы учесть излучение мягких реальных фотонов, необходимо вычислить интеграл

$$- \frac{4\pi\alpha}{16\pi^3} \int_{\omega < \Delta E} \frac{d^3k}{\omega} \frac{(\rho q)}{(\rho k)(qk)} / \rho^2 = m_e^2$$

он равен

$$- \frac{\alpha}{2\pi} \left\{ \left[ \ln \frac{m^2-t}{m^2} + \ln \frac{m^2-t}{m_e^2} \right] \ln \frac{(\Delta E)m}{\lambda \epsilon} + \frac{1}{2} \ln^2 \left( \frac{m^2-t}{m^2} \right) - \frac{1}{4} \ln^2 \left( \frac{m^2}{m_e^2} \right) - \frac{\pi^2}{6} - \int_0^1 \frac{dx}{1-x} \ln x + \tilde{D} \right\},$$

где

$$\tilde{D} = -\frac{\pi^2}{6} - \int_0^1 \frac{dx}{x} \ln(1-x) - \int_0^1 \frac{dx}{x \sqrt{1-\rho/x}} f(\rho); \quad f(x) = \left( \frac{1}{\sqrt{1-x}} - 1 \right) \ln \frac{\sqrt{x}}{2} - \frac{1}{\sqrt{1-x}} \ln \frac{1+\sqrt{1-x}}{2}.$$

Подставляя, получим для вклада в с-нечетную часть от излучения реальных фотонов с частотой  $\omega < \Delta E$  в с.ц.и.:

$$\left( \frac{d\sigma}{dO_\mu} \right)_{soft}^{odd} = -\frac{\alpha^3 \beta}{2\pi s} (2-\beta^2+\beta^2 \cos^2 \theta) \left\{ 2 \ln \frac{1+\beta \cos \theta}{1-\beta \cos \theta} \ln \left( \frac{\Delta E}{\lambda} \right) + \right.$$

$$\left. + \frac{1}{2} \ln^2 \left( \frac{1+\beta \cos \theta}{2} \right) - \frac{1}{2} \ln^2 \left( \frac{1-\beta \cos \theta}{2} \right) + \int_{1-x_u}^0 \frac{dx}{x} \ln(1-x) + \right.$$

$$\left. + \int_{1-x_t}^0 \frac{dx}{x} \ln x + \int_0^1 \frac{dx}{x} f(x) \left( \frac{1}{\sqrt{1-x/x_t}} - \frac{1}{\sqrt{1-x/x_u}} \right) \right\},$$

$$\text{где } x_t = \frac{m^2-t}{-t}; \quad x_u = \frac{m^2-u}{-u}.$$

Приведем выражение для полного дифференциального сечения процесса  $e^+e^- \rightarrow \mu^+\mu^-(\gamma)$  в  $\alpha^3$  порядке с учётом поправок от излучения виртуальных и мягких ( $\omega < \Delta E$ ) в с.ц.и. реальных фотонов; в пределе  $(m/\epsilon)^2 \rightarrow 0$  оно имеет вид

$$\left( \frac{d\sigma}{dO_\mu} \right)^{asym} = \frac{\alpha^2}{4s} (1+\cos^2 \theta) \left\{ 1 + \frac{2\alpha}{\pi} \left[ - \left( \ln \frac{s}{m^2} + \ln \frac{s}{m_e^2} - 2 \right) \left( \ln \frac{\epsilon}{4E} - \frac{13}{12} \right) + \right. \right.$$

$$\left. \left. + \frac{\pi^2}{3} - \frac{17}{18} \right] \right\} + \frac{\alpha^3}{\pi s} \left\{ 2(1+\cos^2 \theta) \ln(\cot \frac{\theta}{2}) \ln \frac{\epsilon}{4E} + (1-\cos \theta + \cos^2 \theta) \ln^2 \left( \sin \frac{\theta}{2} \right) - \right.$$

$$\left. - (1+\cos \theta + \cos^2 \theta) \ln^2 \left( \cos \frac{\theta}{2} \right) - \frac{1}{2} (1+\cos^2 \theta) \int_0^1 \frac{dx}{x} \ln(1-x) + \right.$$

$$\left. + \cos^2 \left( \frac{\theta}{2} \right) \ln \left( \sin \frac{\theta}{2} \right) - \sin^2 \left( \frac{\theta}{2} \right) \ln \left( \cos \frac{\theta}{2} \right) \right\}; \quad s = 4\epsilon^2, \quad \theta = \vec{p}_+ \cdot \vec{p}_-$$

Выражение для с-нечетной части совпадает с полученной ранее И.Б. Хрипловичем и другими [1, 3]. В приложении У приводится поправка к  $(d\sigma/dO_\mu)^{even}_{asym}$  асимптотическому (I8)  $\sim (m/\epsilon)^2$ . Из приведённого выше следует, что в пределе углов  $\theta \rightarrow 0, \pi$  в выражении (I8) следует заменить  $\sin \frac{\theta}{2} \rightarrow \frac{1}{\sqrt{2}} \sqrt{1-\beta \cos \theta}$ ,  $\cos \frac{\theta}{2} \rightarrow \frac{1}{\sqrt{2}} \sqrt{1+\beta \cos \theta}$ , где  $\beta^2 = 1 - m^2/\epsilon^2$ .

2. Вычисление распределений в жесткой части спектра фотона мы начнем с нахождения квадрата модуля матричного элемента процесса рис. I в просуммированного по спиновым состояниям всех частиц. Матричный элемент совокупности диаграмм рис. Iв, пользуясь тем, что

волновые функции начальных и конечных фермионов удовлетворяют уравнению Дирака, можно представить в виде

$$iM = \frac{1}{s} \bar{\psi}(\rho) \gamma_\mu u(\rho) \bar{Q}_\mu^{(3)} v(q_+) + \frac{1}{s} \bar{\psi}(\rho) Q_\mu^{(4)} u(\rho) \bar{u}(q_-) \gamma_\mu v(q_+), \quad (19)$$

где  $Q_\mu^{(3)} = (g_3 e) \gamma^\mu + \frac{e \hat{k} \gamma_\mu}{2x'_-} - \frac{\gamma_\mu \hat{k} e}{2x'_+}; Q_\mu^{(4)} = (g_4 e) \gamma_\mu + \frac{\gamma_\mu \hat{k} e}{2x'_-} - \frac{e \hat{k} \gamma_\mu}{2x'_+}; g_3 = n'_- - n'_+, g_4 = n_+ - n_-; n_\pm = \rho_\pm / x_\pm, n'_\pm = q_\pm / x'_\pm.$

Введем кинематические инварианты

$$s = (\rho + \rho)^2, \quad t = (\rho - q_+)^2, \quad u = (\rho - q_-)^2, \quad x_\pm = k\rho_\pm,$$

$$s_s = (q_+ + q_-)^2, \quad t_s = (\rho - q_-)^2, \quad u_s = (\rho - q_+)^2, \quad x'_\pm = kq_\pm.$$

Через вектора  $Q^{(3)}, Q^{(4)}$  просуммированный по спиновым состояниям квадрат модуля  $M_{e^+e^- \mu^+\mu^- \gamma}$  запишется в виде

$$\begin{aligned} R &= \frac{1}{16(4\pi\alpha)^3} \sum_{\text{спин}} |M_{e^+e^- \mu^+\mu^- \gamma}|^2 = \frac{1}{s^2} \frac{1}{4} S_p P \gamma_\mu \rho \gamma_\nu \cdot \frac{1}{4} S_p (q_+ + m) Q_\mu^{(3)} \\ &\times (q_+ - m) \bar{Q}_\nu^{(3)} + \frac{1}{s_s^2} \frac{1}{4} S_p (q_+ + m) \gamma_\mu (q_+ - m) \gamma_\nu \cdot \frac{1}{4} S_p P_+ Q_\mu^{(4)} \bar{Q}_\nu^{(4)} + \\ &+ \frac{2}{s s_s} \frac{1}{4} S_p P_+ \gamma_\mu P_- \bar{Q}_\nu^{(4)} \cdot \frac{1}{4} S_p (q_+ + m) Q_\mu^{(3)} (q_+ - m) \gamma_\nu. \end{aligned} \quad (20)$$

В приложении У1 мы приводим результат точного (опуская лишь члены  $(m_e/m_\mu)^2, (m_e/\epsilon)^2$ ) вычисления (20). Здесь мы приведем величину  $R$ , оставляя лишь члены могущие привести к неубывающему в пределе

$$\left(\frac{m_e}{\epsilon}\right)^2, \left(\frac{m}{\epsilon}\right)^2, \left(\frac{m_e}{m}\right)^2 \rightarrow 0 \quad (21)$$

вкладу в различные распределения. В этом пределе  $R$  упрощается.\*

$$\begin{aligned} R &= -\frac{1}{2} s (u u_+ + t t_+) \alpha^2 + \alpha (r + \frac{s}{s_s} q) - (t x_- + u x_+) \frac{1}{s x'_-} - (u_+ x_+ + t_+ x_+) \frac{1}{s x'_+} \\ &- \frac{s}{s_s^2 x_-} (u_+ x'_+ + t_+ x'_-) - \frac{s}{s_s^2 x_+} (u x'_- + t_+ x'_+) + \frac{2}{s_s} (t + t_-, -u - u_+), \end{aligned} \quad (22)$$

\* Это выражение может быть получено из формул работы В.Н.Байера и В.А.Хозе [5].

где

$$\begin{aligned} q &= n'_- x'_-(u-t) + n'_+ x'_+(t,-u_+) + n_-(x'_+ u_+ + x'_- t_+) - n_+(x'_- u_+ + x'_+ t_+), \\ r &= n_+ x_+(t,-u) + n_- x_-(u,-t) + n'_-(x'_- t_+ + x'_+ u_+) - n'_+(x'_- u_+ + x'_+ t_+), \\ a &= \frac{1}{s} (n'_- - n'_+) + \frac{1}{s_s} (n_+ - n_-). \end{aligned} \quad (22a)$$

Записывая фазовый объём конечного состояния в виде

$$\begin{aligned} d\Gamma &= \frac{d^3 q_+ d^3 q_- d^3 k}{2\varepsilon_+ 2\varepsilon_- 2\omega(2\pi)^9} (2\pi)^4 \delta^{(4)}(P_+ + P_- - q_+ - q_- - k) = \\ &= \frac{s}{(4\pi)^4} dV_+ dV_- V_+ \int dZ_+ dZ_- d\phi \delta((2-v_+ - v_-)^2 - [V_+^2 \beta_+^2 + V_-^2 \beta_-^2 + \\ &+ 2v_+ v_- \beta_+ \beta_- (z_+ z_- - \sqrt{(1-z_+^2)(1-z_-^2)} \cos\phi)]), \end{aligned} \quad (23)$$

где  $v_\pm, \beta \equiv \epsilon_\pm / \epsilon$ ,  $\omega/\epsilon$  – доли энергий  $\mu^+$ ,  $\mu^-$  и фотона;  $z_\pm$  – косинусы углов их вылета, отсчитываемых от направления импульса начального электрона;  $\phi$  – азимутальный угол между плоскостями  $(\vec{p}, \vec{q}_-)$  и  $(\vec{p}, \vec{q}_+)$ ;  $\beta_\pm$  – скорости  $\mu^\pm$  в с.ц.и. ( $\beta_\pm^2 = 1 - m^2/(\epsilon^2 v_\pm^2)$ ).

Из закона сохранения энергии-импульса следует

$$\begin{aligned} v_+ + v_- + v &= 2, \quad \beta_+ v_+ z_+ + \beta_- v_- z_- + v z = 0, \\ v_+ \beta_+ \sqrt{1-z_+^2} \cos\phi &+ v_- \beta_- \sqrt{1-z_-^2} \cos\phi + v \sqrt{1-z^2} = 0. \end{aligned}$$

Выполняя в (23) интегрирование по азимуту  $\phi$  с помощью  $\delta$ -функции, получим сечение в одном из альтернативных видов

$$d\sigma = \frac{\alpha^3}{4\pi s} \frac{R dV_+ dV_- dZ_+ dZ_-}{\sqrt{(z_- - c_2)(c_1 - z_-)}}, \quad c_{1,2} = \alpha z_\pm \pm \sqrt{(1-\alpha^2)(1-z_\pm^2)}; \quad (24)$$

$$d\sigma = \frac{\alpha^3}{4\pi s} \frac{R dV_+ dV_- dZ_+ dZ_-}{\sqrt{(z - c_2)(z_1 - z)}}, \quad z_{1,2} = \alpha z_\pm \pm \sqrt{(1-\alpha^2)(1-z_\pm^2)},$$

$$\text{где } a = \frac{(2-v_+ - v_-)^2 - V_+^2 \beta_+^2 - V_-^2 \beta_-^2}{2v_+ v_- \beta_+ \beta_-}, \quad a_+ = \frac{(2-v_+ - v_-)^2 - V_+^2 - V_-^2}{2v_+ \beta_+ v_-},$$

Величина  $R$  естественным образом разбивается на два слагаемых: четное и нечетное относительно перестановки  $q_+ \leftrightarrow q_-$

$$\left\{ q_+ \leftrightarrow q_- \Rightarrow \begin{array}{l} s \leftrightarrow s_1; u \leftrightarrow t_1; n'_+ \leftrightarrow n'_-; x'_+ \leftrightarrow x'_- (q \rightarrow q) \\ t \leftrightarrow u; x'_+ \leftrightarrow x'_-; n'_+ \leftrightarrow n'_- (r \rightarrow r) \end{array} \right\}$$

которые дадут вклад в зарядово (С-) четную и С-нечетную части дифференциального сечения:

$$R = R_{even} + R_{odd},$$

$$\text{где } R_{even} = \frac{\sqrt{v_+^2(1+z_+^2) + v_-^2(1+z_-^2)}}{2(1-v_+)(1-v_-)} - \frac{2}{1-v} + \frac{4[v_+^2(1-v) - v_+v_-(1+z_+^2)]}{v^2(1-v)(1-\beta_e^2z^2)} - \frac{m^2[1+z_+^2]}{S[(1-v_+)^2(1-v_-)^2]} + \\ + \frac{4m_e^2}{S\sqrt{2}(1-v)(1+\beta_e^2)} [-v_+v_-(1-z_+^2) + v_+(1-v_+)(1-z_+) + v_-(1-v_-)(1-z_-)] + \quad (25a)$$

$$+ \frac{4m_e^2}{S\sqrt{2}(1-v)(1-\beta_e^2)} [-v_+v_-(1-z_+^2) + v_+(1-v_+)(1+z_+) + v_-(1-v_-)(1+z_-)],$$

$$(1-v)R_{odd} = \frac{2v_+(z_+-z_-)}{v^2(1-z^2\beta_e^2)} + \frac{(1-v)v_-z_-}{1-v_+} + \frac{v_+(1+z_+)}{2v(1-v_-)(1+\beta_e^2)} [2v_+v_-(1-z_+^2) + \\ + v_-(1-z_-^2) - v_+(1-v_+)(1-z_+) - v_-(1-v_-)(1-z_-)] - \\ - \frac{v_-(1+z_-)}{2v(1+v_+)(1+\beta_e^2)} [2v_+v_-(1-z_+^2) + v_+(1-z_+^2) - v_+(1-v_+)(1-z_+) - \\ - v_-(1-v_-)(1-z_-)] + 2v_-z_- + \begin{cases} z \rightarrow -z \\ z_\pm \rightarrow z_\mp \\ v_+ \leftrightarrow v_- \end{cases}, \beta_e^2 = 1 - \frac{m_e^2}{\epsilon^2}. \quad (25b)$$

Величина  $R_{even}$  содержит слагаемые  $\sim m_e^2/s$ ,  $m^2/s$ , но вклад их не убывает в пределе (21) в случае, когда имитируется двухчастичная кинематика в системе 3-х частиц  $\mu^+ \mu^- \gamma$ , либо когда фотон испускается по направлению начальных частиц.

Исходя из вида сечения (24б), мы сейчас получим распределение по энергиям конечных частиц (распределение в Далиц-плот) и инклузивное сечение по энергии и углу вылета  $\mu^+$  мезона.

Непосредственным вычислением можно убедиться, что вклад от С-нечетной части  $R$  в распределение по энергиям конечных частиц есть тождественный нуль. Это понятно, поскольку исчезает информация о начальных частицах.

Интегрирование по углам вылета фотона производится по области положительности подкоренного выражения в (24б) и дает (соответствующие интегралы приведены в приложении УП):

$$\frac{d^2\sigma}{dv_+ dv_-} = \frac{2\alpha^3}{S} \left\{ -\frac{2}{3} + \frac{v^2 - 2v + 2}{3(1-v_+)(1-v_-)} + \frac{2(1-v_+)(1-v_-)}{v^2(1-v)} + \frac{16(1-v_+)(1-v_-)}{v^4} - \right. \\ \left. - \frac{4}{v^2} - \frac{1}{1-v} + \left[ \frac{1}{1-v} + \frac{2}{v^2} - \frac{2(1-v_+)(1-v_-)}{v^2(1-v)} - \frac{4(1-v_+)(1-v_-)}{v^4} \right] \ln \frac{S}{m_e^2} \right\}. \quad (26)$$

это распределение справедливо при

$$\Delta < v < 1 - m^2/\epsilon^2, \quad (v_+ + v_- + v = 2),$$

$$(1-v_+)(1-v_-)(1-v) \geq \frac{m^2}{S} v^2, \quad (27)$$

причем знак равенства в (27) реализуется, когда две из 3-х частиц летят в направлении, обратном направлению 3-й. Область (27) вблизи

$$v_+, v_-, v \rightarrow 1 \quad \text{дает ограничения} \\ 1-v_+ \leq \frac{m^2 v}{S} \approx \frac{m^2 (1-v_-)}{S} \approx \frac{m^2 v_-}{S} \approx \frac{m^2}{S} \frac{v_-}{v_+} \approx \frac{m^2}{S \sqrt{4(1-v_+)}} \approx \frac{m^2}{S \sqrt{1-v}}$$

Из законов сохранения можно показать, что задание  $v_+$ ,  $v_-$  одновременно определяет углы между импульсом фотона и импульсами мезонов в плоскости, проходящей через направления импульсов конечных частиц в с.д.и. (плоскости образования). Поскольку сумма этих трех углов равна  $2\pi$ , то иногда оказывается удобным наносить данные опыта на диаграмму, в которой по осям откладываются значения углов между импульсами частиц в плоскости образования. При этом углы и энергии связаны следующим образом (в пренебрежении массами конечных частиц (21)):

$$v = \frac{\cos(\theta/2)}{\sin \frac{\theta_+}{2} \sin \frac{\theta_-}{2}}, \quad v_+ = \frac{\cos(\theta/2)}{\sin \frac{\theta_+}{2} \sin \frac{\theta_-}{2}}, \quad v_- = \frac{\cos(\theta/2)}{\sin \frac{\theta_+}{2} \sin \frac{\theta_-}{2}}; \quad (28)$$

$$\theta = \vec{q}_+ \cdot \vec{q}_-, \quad \theta_+ = \vec{k}_+ \cdot \vec{q}_+, \quad \theta_- = \vec{k}_- \cdot \vec{q}_-,$$

а плотность распределения точек на диаграмме дается выражением

$$d\Omega_+ d\Omega_- = \frac{\cos \frac{\theta}{2} \cos \frac{\theta_+}{2} \cos \frac{\theta_-}{2}}{2(\sin \frac{\theta}{2} \sin \frac{\theta_+}{2} \sin \frac{\theta_-}{2})^2} d\theta_+ d\theta_-. \quad (29)$$

Состоянию с инвариантной массой в системе частиц 1,2 на диаграмме соответствуют кривые:

$$\frac{m_{12}^2}{S} = \operatorname{ctg} \frac{\theta_{23}}{2} \operatorname{ctg} \frac{\theta_{13}}{2}, \quad \theta_{ik} = \vec{q}_i \cdot \vec{q}_k \quad (30)$$

Из распределения по энергиям (26), интегрируя по области (27) внутри треугольника  $0 < 1-v, 1-v_+, 1-v_- < 1$ , получим вклад в полное сечение от излучения жестких фотонов. При интегрировании удобно ис-

пользовать переменные

$$\alpha = v, \quad v = v_+ - v_-;$$

область интегрирования (27) в этих переменных будет

$$v^2 = \alpha^2 \left(1 - \frac{6^2}{1-\alpha}\right), \quad 0 < \alpha < 1 - \sigma^2, \quad \sigma = m/e. \quad (27a)$$

Интегрирование дает

$$\begin{aligned} \sigma^{hard} = & \frac{\alpha^3}{s} \left\{ \frac{8}{3} \left( \ln \frac{s}{m_e^2} + \ln \frac{s}{m_e^2} - 2 \right) \ln \frac{1}{\Delta} + \frac{4}{3} \ln \frac{s}{m_e^2} \ln \frac{s}{m_e^2} - \right. \\ & \left. - \frac{10}{3} \ln \frac{s}{m_e^2} - \frac{38}{9} \ln \frac{s}{m_e^2} + \frac{71}{9} - \frac{4}{9} \pi^2 \right\}. \end{aligned} \quad (31)$$

Вместе с вкладом от виртуальных и жестких фотонов (следующим из (18))

$$\sigma^{virt} + \sigma^{soft} = \frac{\alpha^3}{s} \left\{ -\frac{8}{3} \left( \ln \frac{s}{m_e^2} + \ln \frac{s}{m_e^2} - 2 \right) \left( \ln \frac{1}{\Delta} - \frac{13}{12} \right) - \frac{68}{27} + \frac{8}{9} \pi^2 \right\} \quad (31a)$$

получим для сечения аннигиляции  $e^+e^-$  пары в пару мюонов с точностью до  $\alpha^3$ :

$$\sigma_{e^+e^- \rightarrow \mu^+\mu^-} = \frac{4\pi\alpha^2}{3s} \left\{ 1 + \frac{\alpha}{\pi} \left[ \ln \frac{s}{m_e^2} \ln \frac{s}{m_e^2} - \frac{1}{3} \ln \frac{s}{m_e^2} - \ln \frac{s}{m_e^2} + \frac{\pi^2}{3} - \frac{11}{36} \right] \right\}. \quad (32)$$

Заметим, что это выражение согласуется с выражением для полного сечения процесса аннигиляции  $e^+e^-$  пары в  $\mu^+\mu^-$  пару с произвольным числом дополнительных фотонов, найденной ранее в работе одного из авторов [6].

$$\sigma_s = \frac{4\pi\alpha^2}{3s} \ln \rho, \quad \rho^2 = \frac{2\alpha}{\pi} \ln \frac{s}{m_e^2} \ln \frac{s}{m_e^2} \quad (33)$$

в дважды логарифмическом приближении. Инклузивное по энергии и углу вылета  $\mu^+$  мезона сечение получается интегрированием (24б) с  $R$  из (25а, б) при фиксированных  $v_+$ ,  $z_+$ , детали которого приводятся в приложении УШ.

В результате, для вклада С-четной части получим

$$\begin{aligned} \frac{d\sigma}{dz_+} \text{even} = & \frac{\alpha^3}{2s} \left\{ \left[ -2v_+ \left( \frac{1}{\alpha} + \frac{1}{\theta} \right) + \frac{2v_+^3(1+z_+^2)}{1-v_+} + 4v_+(2-v_+) + \right. \right. \\ & + \frac{4(1-2v_++2v_+^2)}{1-z_+^2} \left. \right] \ln \frac{s}{m_e^2} + \left[ \frac{5+3z_+^2}{4\theta-v_+} - \frac{v_++3+z_+^2(1+3v_+)}{4} + \right. \\ & + 2 \frac{1+z_+^2}{1-z_+^2} (1-2v_++2v_+^2) \left. \right] \ln \frac{sv_+^2}{m_e^2(1-v_+)} + [-4+4v_+(1-v_+)+2(\frac{1}{\alpha}+\frac{1}{\theta})+ \\ & + \frac{4(1-2v_++2v_+^2)}{1-z_+^2}] \ln(1-v_+) - 4v_+ \left( \frac{1}{\alpha} \ln \frac{\alpha}{2} + \frac{1}{\theta} \ln \frac{\theta}{2} \right) + \\ & + \frac{4[1-v_+(1+z_+)+v_+^2(1+z_+^2)]}{1-z_+^2} \ln \frac{1-z_+}{2} + \frac{4[1-v_+(1-z_+)+v_+^2(1+z_+^2)]}{1+z_+} \ln \frac{1+z_+}{2} + \\ & \left. + \frac{1}{8} \left[ -\frac{31+29z_+^2}{1-v_+} - v_+(21-17z_+^2)-17z_+^2+35 \right] + 2v_+^2(1+z_+^2) \right\}, \\ \alpha & = 2-v_+(1+z_+), \quad \theta = 2-v_+(1-z_+), \quad z_+ = \cos \vec{p}_- \vec{q}_+, \quad v_+ = \epsilon_+/e. \end{aligned} \quad (34)$$

Распределение (34) справедливо для

$$1-v_+ \gg \left( \frac{m}{e} \right)^2, \quad 1-z_+^2 \gg \left( \frac{m}{e} \right)^2. \quad (34a)$$

При  $z_+ \rightarrow \pm 1$  в (34) величину  $1 \pm z_+$  надо заменить на  $1 \pm \beta_+ z_+$ ;  $\beta_+^2 = 1 - m^2/v_+^2 e^2$ . Распределение же в конце спектра по  $v_+$  несколько сложнее, поскольку величина  $1/(1-v_+)$  присутствует в некоторых местах в виде  $1/(1-v_+ + m^2/s)$ . Аналогичное вычисление для С-нечетной части приводит к результату

$$\begin{aligned} \frac{d^2\sigma}{dv_+ dz_+} \text{odd} = & \frac{\alpha^3}{2s} \left\{ -2v_+ z_+ \ln(1-v_+) + z_+(v_+-3) + \frac{4v_+}{\alpha} + 2 \left[ \frac{z_+^2+z_++1}{1-v_+} - \right. \right. \\ & \left. \left. - z_+^2(1-v_+) - v_+-z_+ \right] \ln \frac{1+z_+}{\alpha} - 2 \left[ \frac{z_+^2+1}{1-v_+} - z_+^2(1+v_+) - \right. \right. \\ & \left. \left. - z_+ v_+ - v_+ \right] \ln \frac{1-z_+}{\alpha} \right\} - \{ z_+ \rightarrow -z_+ \}, \end{aligned} \quad (35)$$

где  $\alpha = 2-v_+(1-z_+)$ .

Это выражение также как и (34) справедливо при условиях (34а). Для энергий  $2e \sim 3 \text{ ГэВ}$  эти условия обеспечивают справедливость (34, 35) для углов вылета  $\mu^+$  мезона

$$\theta \geq 5^\circ; \quad \pi - \theta \geq 5^\circ; \quad (\epsilon - \epsilon_+)/e \geq 10^{-3}. \quad (36)$$

Интегрирование (25б) по энергиям и углу вылета  $\gamma$ -кванта даёт для вклада в  $C$ -нечетную часть  $d\sigma/dz_+$  от жесткого спектра фотонов

$$\begin{aligned} \left(\frac{d\sigma}{dz_+}\right)_{\text{hard}}^{\text{odd}} = & \frac{\alpha^3}{2S} \left\{ 4(1+z_+^2) \ln \frac{1+z_+}{1-z_+} \ln \frac{1}{\Delta} - 6z_+ + 2(1-3z_+^2) \ln \frac{1+z_+}{1-z_+} + \right. \\ & + \frac{6}{1-z_+} \left( -1 + \frac{2}{1-z_+} \ln \frac{2}{1+z_+} \right) - \frac{6}{1+z_+} \left( -1 + \frac{2}{1+z_+} \ln \frac{2}{1-z_+} \right) + \\ & + 2(1+z_+^2) \left[ \int \frac{dx}{x} \ln(1-x) + \frac{1}{2} \ln^2 \left( \frac{1-z_+}{2} \right) - \frac{1}{2} \ln^2 \left( \frac{1+z_+}{2} \right) \right] - \\ & - z_+ \left( 1 + 4 \int_0^{1/2} \frac{dx}{x} \ln(1-x) \right) - 2z_+ \left[ \frac{\pi^2}{6} + \frac{1}{2} \ln^2 \left( \frac{1-z_+}{1+z_+} \right) \right] \}, \\ z_+ \equiv & \cos \vec{\theta}_+ \vec{p}_+ \end{aligned} \quad (37)$$

Вспоминая вклад мягких и виртуальных фотонов (18), получим для  $C$ -нечетной части распределения по углу вылета  $\mu^+$  мезона к оси пучков ( $\theta = \vec{\theta}_+, \vec{p}_+$ ) в постановке, когда не измеряется энергия  $\mu^+$  мезона:

$$\begin{aligned} \left(\frac{d\sigma}{d\Omega_{\mu^+}}\right)^{\text{odd}} = & \frac{\alpha^3}{2\pi S} \left\{ \cos \theta \left[ C + \left( 2 \ln \sin \frac{\theta}{2} - \frac{1}{2} \right) \left( 2 \ln \cos \frac{\theta}{2} - \frac{1}{2} \right) \right] + \right. \\ & + 3(1-2\cos^2\theta) \ln \operatorname{ctg} \frac{\theta}{2} - \frac{3}{2 \sin^2 \frac{\theta}{2}} \left( 1 + 2 \frac{\ln \cos \frac{\theta}{2}}{\sin^2 \frac{\theta}{2}} \right) + \frac{3}{2 \cos^2 \frac{\theta}{2}} \left( 1 + 2 \frac{\ln \sin \frac{\theta}{2}}{\cos^2 \frac{\theta}{2}} \right) + \\ & \left. + 2(1+\cos^2\theta) \int \frac{dx}{x} \ln(1-x) \right\}; C = -\frac{15}{4} - \frac{\pi^2}{6} - 2 \int_0^{1/2} \frac{dx}{x} \ln(1-x) = -4.860. \quad (38) \end{aligned}$$

$$\text{При } \theta \rightarrow 0, \pi \quad \sin \theta \rightarrow \sqrt{(\sin^2 \theta + m^2/s)},$$

(см. таблицу).

Приведём, наконец, вклад жесткой части спектра фотона в  $C$ -четную часть распределения по углу вылета  $\mu^+$  мезона к оси пучка, необходимую для постановки, когда на опыте не измеряются его энергии частиц

$$\left(\frac{d\sigma}{dz_+}\right)_{\text{hard}}^{\text{even}} = \frac{\alpha^3}{S} \left\{ (1+z_+^2) \left( \ln \frac{S}{m_e^2} + \ln \frac{S}{m_e^2} - 2 \right) \ln \frac{1}{\Delta} + 2(L_-^2 + L_+^2) + \right.$$

$$\begin{aligned} & + \left( \ln \frac{S}{4m_e^2} \right) \left( -\frac{2}{3} + \frac{4}{3(1-z_+^2)} \right) + (1+z_+^2) \left[ -\frac{3}{4} \ln \frac{S}{m_e^2} + \frac{83}{24} - \frac{1}{2} \ln \frac{4}{1-z_+^2} - \right. \\ & - \frac{\pi^2}{12} - \frac{1}{4} \ln^2 \left( \frac{1+z_+}{1-z_+} \right) \left. \right] - z_+^2 - \frac{2}{(1+z_+^2)^2} F \left( \frac{1+z_+}{1-z_+} \right) - \frac{2}{(1-z_+^2)^2} F \left( \frac{1-z_+}{1+z_+} \right) + \frac{1}{2} - \frac{2}{1-z_+^2} + \\ & + \ln \frac{S}{m_e^2} \left[ -\frac{1}{2} - \frac{11}{6} z_+^2 + \frac{10}{3(1-z_+^2)} + \left( -\frac{2}{1+z_+} + \frac{1}{2} (1+z_+^2 + z_+^2 + z_+^3) \right) L_- + \right. \\ & + \left( -\frac{2}{1-z_+} + \frac{1}{2} (1-z_+^2 + z_+^2 - z_+^3) \right) L_+ \left. \right] + \left[ \frac{4}{1+z_+} - \frac{8}{3(1-z_+)} + \frac{1}{3} (2z_+^2 + z_+^2 - 3) \right] L_+ + \\ & \left. + \left[ \frac{4}{1-z_+} - \frac{8}{3(1+z_+)} + \frac{1}{3} (2z_+^2 - z_+^2 - 3) \right] L_+ \right\}, \end{aligned} \quad (39)$$

$$\text{где } L_{\pm} = \frac{1}{1 \mp z_+} \ln \frac{2}{1 \pm z_+}; \quad F(x) = \int_0^x \frac{dt}{t} \ln(1+t).$$

Полное распределение для  $C$ -четной части с учётом вклада виртуальной поправки и вклада излучения мягких фотонов (18):

$$\begin{aligned} \left(\frac{d\sigma}{dz_+}\right)^{\text{even}} = & \left(\frac{d\sigma}{dz_+}\right)_{\text{virt}}^{\text{even}} + \left(\frac{d\sigma}{dz_+}\right)_{\text{soft}}^{\text{even}} + \left(\frac{d\sigma}{dz_+}\right)_{\text{hard}}^{\text{even}} = \\ = & \frac{\alpha^3}{S} \left\{ \left[ \frac{13}{12} \left( \ln \frac{S}{m_e^2} + \ln \frac{S}{m_e^2} - 2 \right) + \frac{\pi^2}{3} - \frac{17}{18} + \frac{83}{24} - \frac{3}{4} \ln \frac{S}{m_e^2} - \right. \right. \\ & - \frac{1}{2} \ln \frac{4}{1-z_+^2} - \frac{\pi^2}{12} - \frac{1}{4} \ln^2 \left( \frac{1+z_+}{1-z_+} \right) \left( 1+z_+^2 \right) + \frac{1}{2} - z_+^2 - \frac{2}{1-z_+^2} - \frac{2}{(1+z_+^2)^2} F \left( \frac{1+z_+}{1-z_+} \right) - \\ & - \frac{2}{(1+z_+^2)^2} F \left( \frac{1-z_+}{1+z_+} \right) + \left( \ln \frac{S}{4m_e^2} \right) \left( -\frac{2}{3} + \frac{4}{3(1-z_+^2)} \right) + \ln \frac{S}{m_e^2} \left[ -\frac{1}{2} - \frac{11}{6} z_+^2 + \right. \\ & \left. \left. + \frac{10}{3(1-z_+^2)} + \left( -\frac{2}{1+z_+} + \frac{(1+z_+)(1+z_+^2)}{2} \right) L_- + \left( -\frac{2}{1-z_+} + \frac{(1-z_+)(1+z_+^2)}{2} \right) L_+ \right] + 2(L_-^2 + L_+^2) + \right. \\ & \left. + \left[ \frac{4}{1+z_+} - \frac{8}{3(1-z_+)} + \frac{1}{3} (2z_+^2 + z_+^2 - 3) \right] L_- + \left[ \frac{4}{1-z_+} - \frac{8}{3(1+z_+)} + \frac{1}{3} (2z_+^2 + z_+^2 - 3) \right] L_+ \right\}. \quad (40) \end{aligned}$$

Эти формулы справедливы при  $1-z_+^2 \gg m^2/\epsilon^2$ ,  $1-v \gg m^2/\epsilon^2$ . Для углов  $\theta$ ,  $z_+ = \cos \theta \rightarrow \pm 1$  в знаменателях (37–39) следует заменить  $1 \pm z_+ \rightarrow 1 \pm z_+ + 2m^2/\epsilon^2$ .

В пределе больших энергий ( $m/\epsilon \ll 1$ ) можно получить аналитическое выражение для распределения по углу в с.ц.и. между импульсами  $\mu^+$  и  $\mu^-$  мезонов  $\theta = \hat{q}_+, \hat{q}_-$ . Заметим прежде, что для фиксированного значения  $\theta$ ,  $\cos \theta = 1 - 2(1-\nu)(\nu_+ \nu_-)^I$  частота фотона меняется в пределах  $\max(\Delta, 2(\operatorname{ctg} \frac{\theta}{2})(\operatorname{tg} \frac{\theta}{4})) < \nu < 1 - \frac{m^2}{\epsilon^2}$ . Переходя в (26) от переменных  $\nu_+, \nu_-$  к  $\nu$ ,  $\cos \theta$  получим после стандартного интегрирования (см. приложение X)

$$\frac{d\sigma}{d\theta} = \frac{\alpha^3}{2S} I, \quad I = \frac{1}{2} (P+1)^{3/2} [F_1(P) + F_2(P) \ln S/m_e^2] \quad (41)$$

$$F_1 = \frac{8}{3} (1 - (1+2P)L) + \frac{4}{3P} \left[ -\frac{3}{2}(1+2P) + 2(1+3P+3P^2)L \right] - 4L + \\ + (8P-16)\Psi_1 + 64P\Psi_2, \quad F_2 = 4L + 8(1-P)\Psi_1 - 16P\Psi_2, \\ \Psi_1 = \frac{1}{4P} - \frac{1}{8\sqrt{P}}\theta, \quad \Psi_2 = \frac{(1-P)(P-3)}{48[P(P+1)]^{3/2}} + \frac{4-3P}{96P^2} + \frac{P-1}{16P^{3/2}} \cdot \frac{\theta}{4}$$

$L = -\ln \cos \theta/2$ ,  $P = \operatorname{ctg} \theta/2$ . Величина  $I$  приведена в таблице для  $2\epsilon = 3$  ГэВ. Возрастание  $I$  при  $\theta \rightarrow 0$  объясняется [2] как имитация двухквантовой аннигиляции с последующей конверсией одного из фотонов в пару  $\mu^+\mu^-$ . Возрастание  $I$  при  $\theta \rightarrow \pi$  отражает инфракрасную расходимость.

В приложении IX приведено выражение для сечения  $e^+e^- \rightarrow \mu^+\mu^-$  когда угол расколлинеарности мезонов (угол в с.ц.и. между  $\hat{q}_+$  и  $\hat{q}_-$ ) не превышает некоторого  $\Delta\theta \ll I$  (детали в [8]).

В заключение заметим, что параметр зарядовой асимметрии с учетом излучения фотонов в произвольной жесткости не превышает 5%. По-видимому это позволит на фоне электромагнитных взаимодействий увидеть вклад в  $e^+e^- \rightarrow \mu^+\mu^-$  от слабых взаимодействий (для которых при  $2\epsilon = 3$  ГэВ  $\eta$  достигает  $\sim 1.5\%$  и растет с энергией).

Мы благодарим В.Н.Байера и И.Б.Хрипловича за привлечение внимания к этому процессу и интерес к работе, А.П.Онутина и С.И.Эйдельмана за обсуждения и помощь в численных расчетах.

## Л и т е р а т у р а

1. А.И.Никишов. ЖЭТФ 39, 757 (1960).
2. В.Н.Байер, В.А.Хозе. ЖЭТФ 48, № 3, 946, (1965); препринт НГУ, 1964.
3. И.Б.Хриплович. Препринт ИЯФ 59-72 (1972). Остальные ссылки приведены в /4/.
4. F.A.Berends et al. Nucl. Phys. B57, 381 (1973); Nucl. Phys. B63, 381 (1973).
5. B.L.Beron et al. Phys. Rev. Lett. 33, 663 (1974); J.E.Augustin et al. Phys. Rev. Lett. 34, 233 (1975).
6. Э.А.Кураев, М.М.Несторов, Ю.И.Ольшанский. ЯФ 13 № 4 (1973).
7. Р.В.Половин. ЖЭТФ 31, 449 (1956).
8. Э.А.Кураев, С.И.Эйдельман. Процесс препринт ИЯФ.
9. Г.Б.Двайт. Таблицы интегралов, 1964 г.

## ПРИЛОЖЕНИЕ I

Мы используем свойства спиноров

$$u(\rho) \bar{u}(\rho) = \hat{\rho} + m_e, \quad v(q_+) \bar{v}(q_+) = \hat{q}_+ - m_\mu$$

Метрика  $\rho q_+ = \epsilon \epsilon_+ - \tilde{\rho} \tilde{q}_+$ .

При вычислении шнуром полезно соотношение (см. статью Р.Половина /7/)

$$\begin{aligned} & \frac{1}{4} Sp \gamma^\mu \gamma_\nu \gamma^\lambda \gamma_\mu \cdot \frac{1}{4} Sp \gamma^\mu \gamma_m \gamma^\nu \gamma_n \gamma^\lambda \gamma_p = \\ & = 6 (cm)(kn)(lp) + 2(cm)[(kl)(np) + (kp)(ln)] + \\ & + 2(kn)[(cl)(mp) + (cp)(lm)] + 2(lp)[(ck)(nm) + \\ & + (cn)(km)] + 2(cn)(kp)(lm) + 2(cp)(ln)(mk) - \\ & - 2(cl)[(ln)(mp) + (lm)(np)] - 2(kl)[(cp)(mn) + \\ & + (cn)(mp)] - 2(cl)[(km)(hp) + (kp)(mn)], \end{aligned}$$

где  $(\alpha_\beta) \equiv \delta_{\alpha\beta}$ .

Алгебра  $\gamma$ -матриц:  $\{\gamma_\alpha \gamma_\beta\} = 2g_{\alpha\beta}$ ,  $g_{\alpha\beta} = (1, -1, -1, -1)$ .

## ПРИЛОЖЕНИЕ II

При вычислении вклада в зарядово-четную радиационную поправку от излучения мягкого в системе центра инерции  $e^+e^-$  фотона (см. /6/) используются

$$\begin{aligned} & -\frac{4\pi\alpha}{16\pi^3} \int \frac{m^2}{\omega(q_k)^2} d^3k = -\frac{\alpha}{\pi} \left( \ln \frac{2\Delta\epsilon}{\lambda} - \frac{1}{2\beta} \ln \frac{1+\beta}{1-\beta} \right), \\ & -\frac{4\pi\alpha}{16\pi^3} \int \frac{q_+ q_-}{\omega(q_+) \omega(q_-)} d^3k = -\frac{\alpha}{\pi} \frac{1+\beta^2}{2\beta} \left[ \ln \frac{2\Delta\epsilon}{\lambda} \ln \frac{1+\beta}{1-\beta} - \right. \\ & \left. - \frac{1}{4} \ln^2 \frac{1+\beta}{1-\beta} + \ln \frac{1+\beta}{1-\beta} \ln \frac{1+\beta}{2\beta} + F(1) - F\left(\frac{1-\beta}{1+\beta}\right) \right]; \end{aligned} \quad (\text{II.1})$$

$$\beta^2 = 1 - \frac{m^2}{\epsilon^2},$$

где интегрирование ( $d^3k = k^2 dk dO$ ) идет по области

$$0 < k < \Delta\epsilon, \quad \Delta\epsilon \ll \epsilon,$$

$$\omega^2 = \lambda^2 + k^2, \quad \lambda - \text{"масса фотона"}, \quad F(x) = \int_0^x \frac{dt}{t} \ln(1-t). \quad (\text{II.2})$$

При вычислении зарядово нечетного вклада появляется интеграл

$$R = -\frac{4\pi\alpha}{16\pi^3} \int \frac{(\rho q)}{\omega(\rho k) \omega(q k)} d^3k, \quad \rho^2 = m_e^2, \quad q^2 = m^2, \quad m^2 \gg m_e^2,$$

где интегрирование идет по области II.2. Интегрирование по углам с использованием Фейнмановской параметризации дает для  $R$

$$\begin{aligned} R = & -\frac{\alpha}{2\pi} \frac{m^2 - t}{m^2} \int_0^1 \frac{dx}{\rho \epsilon^2} \left\{ \ln \frac{2\Delta\epsilon}{\lambda} + \frac{1}{2} \ln \frac{\rho}{\epsilon} - \frac{1}{\sqrt{1-\rho}} \ln \frac{1+\sqrt{1-\rho}}{2} + \right. \\ & \left. + \left( \frac{1}{\sqrt{1-\rho}} - 1 \right) \ln \frac{\sqrt{\rho}}{2} \right\}, \\ \rho = & \frac{1}{\epsilon^2} \left[ xm^2 + (1-x)m_e^2 - tx(1-x) \right], \quad t = (\rho - q)^2. \end{aligned}$$

Дальнейшее вычисление дает

$$\begin{aligned} R = & -\frac{\alpha}{2\pi} \left\{ \ln \frac{\Delta\epsilon}{\epsilon \lambda} \left( 2 \ln \frac{m^2 - t}{m^2} + l \right) + \frac{1}{2} \ln^2 \left( \frac{m^2 - t}{m^2} \right) - \frac{1}{4} l^2 - \frac{l^2}{6} + \right. \\ & \left. + F\left(-\frac{t}{m^2 - t}\right) - F(1-x) - \int_0^1 \frac{d\rho}{\rho \sqrt{1-\rho}/\lambda} f(\rho) \right\}, \\ f(\rho) = & \frac{1}{2} \left( \frac{1}{\sqrt{1-\rho}} - 1 \right) \ln \frac{\rho}{\epsilon} - \frac{1}{\sqrt{1-\rho}} \ln \left( \frac{1+\sqrt{1-\rho}}{2} \right), \end{aligned} \quad (\text{II.2})$$

$$X = \frac{(m^2 - t)^2}{-4t \epsilon^2}; \quad l = \ln \frac{m^2}{m_e^2}.$$

Последнее слагаемое в фигурных скобках II.3 может быть выражено через функцию Спенса, но приводить его не будем.

## ПРИЛОЖЕНИЕ III

Система уравнений для вычисления  $J_{\mu\nu}$  имеет вид

$$\begin{pmatrix} 2 & 0 & 2\Delta^2 & 0 & 2\Delta Q \\ 0 & 0 & 0 & 2\Delta Q & 2\Delta^2 \\ 0 & 0 & 2\Delta Q & 0 & 2Q^2 \\ 2 & 2\Delta^2 & 0 & 0 & 0 \\ 4 & \rho^2 & \Delta^2 & Q^2 & 2\Delta Q \end{pmatrix} \begin{pmatrix} K_0 \\ K_P \\ K_A \\ K_Q \\ K_X \end{pmatrix} = \begin{pmatrix} H_A - 2\rho^2 J_A \\ H_Q - 2\rho^2 J_Q - G_Q \\ H_\Delta - 2\rho^2 J_\Delta - G_\Delta \\ H_P \\ \frac{1}{2}(G - F) \end{pmatrix} \quad K_C = D_C/D$$

$$D = 16\rho^2(6Q)[(6Q^2 - \Delta^2)^2],$$

$$\begin{aligned}
H_0 &= -\frac{1}{2\varepsilon} [ \varepsilon (F-G+H_P+H_A+H_Q) + H_A(\varepsilon-\Delta^2) - H_Q(\varepsilon-Q^2) + \\
&+ 2\rho^2 J_\Delta (\Delta^2 - 2\varepsilon) + \Delta^2 G_\Delta - Q^2 G_Q - 2\rho^2 Q^2 J_\Delta ] ; \\
H'_0 &= \frac{1}{2\rho^2 \varepsilon} [ 2\varepsilon (H_A - 2\rho^2 J_\Delta + H_P + \frac{1}{2}F - \frac{1}{2}G) + Q^2 (H_Q - 2\rho^2 J_Q - G_Q) - \\
&- \Delta^2 (H_A - 2\rho^2 J_\Delta - G_\Delta) ] ; \quad H_{\text{ex}} = -\frac{1}{2\varepsilon d} (\varepsilon^2 J_\varepsilon + Q^2 \varepsilon A_Q - 2\Delta^2 \varepsilon A_\Delta) ; \\
H_A &= -\frac{1}{2\varepsilon d} [ Q^2 \varepsilon^2 (G-F-H_P-3H_A+6\rho^2 J_\Delta) + (\Delta^2 Q^2 + \varepsilon^2) (H_A - 2\rho^2 J_\Delta - G_\Delta) - \\
&- Q^4 (H_A - 2\rho^2 J_Q - G_Q) ] ; \quad H_Q = -\frac{1}{2\varepsilon d} [-\Delta^2 \varepsilon J_\varepsilon + 2\Delta^2 A_Q + (\varepsilon - 2\Delta^2 Q^2) A_Q] . \\
J_\Delta &= \frac{1}{2d} [(F+F_\Delta)\varepsilon - Q^2(F+F_Q)] ; \quad J_Q = \frac{1}{2d} [(F+F_Q)\varepsilon - \Delta^2(F+F_\Delta)] ; \quad d = \Delta^2 Q^2 - \varepsilon^2 ; \\
A_\Delta &= H_A + 2\Delta^2 J_\Delta - G_\Delta ; \quad A_Q = H_Q + 2\Delta^2 J_Q - G_Q ; \quad \mathcal{H} = F - G + H_P + 3H_A + 6\Delta^2 J_\Delta .
\end{aligned}$$

#### ПРИЛОЖЕНИЕ IV

Приведем таблицу интегралов, возникающих при вычислении интерференции одно и двух фотонных обменов в  $e^+e^- \rightarrow \mu^+\mu^-$  (мы опускаем члены  $\sim m_e^2/\varepsilon^2, m_e^2/m_\mu^2$ ).

$$\begin{aligned}
J &= \left(-\frac{i}{\pi^2}\right) \int \frac{d^4 k}{(\Delta)(Q)(+)(-)} = -\frac{1}{s(m^2-t)} (2\ln \frac{m^2-t}{m^2} + \ln \frac{m^2}{m_e^2}) \ln \frac{s}{\lambda^2}, \\
F_\Delta &= \left(-\frac{i}{\pi^2}\right) \int \frac{d^4 k}{(\Delta)(+)(-)} = \frac{1}{s} \left( \frac{\pi^2}{6} + \frac{1}{2} \ln^2 \left( \frac{s}{m_e^2} \right) \right), \\
F_Q &= \left(-\frac{i}{\pi^2}\right) \int \frac{d^4 k}{(Q)(+)(-)} = \frac{1}{s\beta} \left[ \ln \frac{s}{m^2} \ln \frac{1+\beta}{1-\beta} + 2F\left(\frac{1-\beta}{2}\right) - 2F\left(\frac{1+\beta}{2}\right) + \right. \\
&\left. + 2F\left(-\frac{1-\beta}{1+\beta}\right) - \frac{1}{2} \ln^2 \left( \frac{1+\beta}{1-\beta} \right) - \frac{\pi^2}{6} \right], \\
H &= \left(-\frac{i}{\pi^2}\right) \int \frac{d^4 k}{(\Delta)(Q)(+)} = G = \left(-\frac{i}{\pi^2}\right) \int \frac{d^4 k}{(\Delta)(Q)(-)} = \\
&= -\frac{1}{2(m^2-t)} \left[ (2\ln \frac{m^2-t}{m^2} + \ln \frac{m^2}{m_e^2}) \ln \frac{m^2}{\lambda^2} + \ln^2 \left( \frac{m^2-t}{m^2} \right) - \frac{1}{2} \ln^2 \left( \frac{m^2}{m_e^2} \right) + 2F\left(-\frac{t}{m^2-t}\right) \right], \\
F &= \frac{1}{2}sJ - G = -\frac{1}{2(m^2-t)} \left[ (2\ln \frac{m^2-t}{m^2} + \ln \frac{m^2}{m_e^2}) \ln \frac{s}{m^2} - \ln^2 \left( \frac{m^2-t}{m^2} \right) + \right. \\
&\left. + \frac{1}{2} \ln^2 \left( \frac{m^2}{m_e^2} \right) - 2F\left(-\frac{t}{m^2-t}\right) \right],
\end{aligned}$$

$$\begin{aligned}
H^M &= \left(-\frac{i}{\pi^2}\right) \int \frac{k^M d^4 k}{(\Delta)(Q)(+)} = H_P P_M + H_A \Delta_M + H_Q Q_M, \quad \left(\frac{\partial h}{\partial k}\right) \\
H_P &= G + \frac{1}{m^2-t} \left( 2\ln \frac{m^2-t}{m^2} + \ln \frac{m^2}{m_e^2} \right), \\
H_Q &= \frac{1}{\varepsilon} \ln \frac{m^2-t}{m^2}, \\
H_A &= \frac{-1}{m^2-t} \left[ \left( \frac{m^2}{\varepsilon} + 1 \right) \ln \frac{m^2-t}{m^2} + \ln \frac{m^2}{m_e^2} \right], \\
\left(-\frac{i}{\pi^2}\right) \int \frac{k^M d^4 k}{(\Delta)(+)(-)} &= G_A \Delta^M, \\
G_\Delta &= \frac{1}{s} \left( -2\ln \frac{s}{m_e^2} + \frac{1}{2} \ln^2 \left( \frac{s}{m_e^2} \right) + \frac{\pi^2}{6} \right), \\
\left(-\frac{i}{\pi^2}\right) \int \frac{k^M d^4 k}{(Q)(+)(-)} &= G_Q Q^M, \\
G_Q &= \frac{1}{s-4m^2} (-2\ln \frac{s}{m^2} + s F_Q).
\end{aligned}$$

Здесь

$$\begin{aligned}
(\Delta) &= k^2 - 2(k_A) + \Delta^2, \quad \Delta = \frac{1}{2}(\rho_+ - \rho_-), \\
(Q) &= k^2 - 2(k_Q) + \Delta^2, \quad \rho = \frac{1}{2}(\rho_+ + \rho_-), \\
(\pm) &= k^2 \mp 2(k_P) + \rho^2 - \lambda^2, \quad Q = \frac{1}{2}(\rho_+ - \rho_-).
\end{aligned}$$

Имеются два соотношения:  $H_P + H_A + H_Q = G$ ,

$$2\Delta^2(-G_\Delta - F_Q + F_\Delta) = -2Q^2 G_Q + (m^2-t) H_A + (m^2+t) H_Q.$$

#### ПРИЛОЖЕНИЕ V

Приведем зарядово-четное сечение с точностью до членов  $\sim (m^2/\varepsilon^2)$ .

$$\begin{aligned} \left(\frac{d\sigma}{dO}\right)^{\text{even}} &= \left(\frac{d\sigma}{dO}\right)_{\text{asympt}}^{\text{even}} + \frac{\alpha^2 m^2}{2s^2} [1 - 3c^2 + \frac{m^2(3c^2 - 5)}{s}] + \\ &+ \frac{\alpha^3 m^2}{\pi s^2} \left[ (\ln \frac{\Delta \epsilon}{\epsilon}) [5c^2 - 3 + (1 - 3c^2)(\ln \frac{s}{m^2} + \ln \frac{s}{m_e^2})] + \frac{1}{6}(14 - 9c^2) \ln \frac{s}{m^2} + \right. \\ &\left. + \frac{13}{12}(1 - 3c^2) \ln \frac{s}{m_e^2} + \frac{\pi^2}{3}(1 - 3c^2) + \frac{1}{36}(157 + 291c^2) \right], \end{aligned}$$

$c = \cos\theta$ ,

$\theta$  - угол вылета  $\mu^+(\mu^-)$  мезона к оси пучков ( $\vec{p}$ ) .

### ПРИЛОЖЕНИЕ VI

Точный штур для реакции  $e^+e^- \rightarrow \mu^+\mu^-\gamma$  имеет вид

$$\begin{aligned} \left(\frac{m\alpha}{16} \sum_{\text{спин}} M_{e^+e^- \rightarrow \mu^+\mu^-\gamma}\right)^2 &= -\left(\frac{g_3}{s} + \frac{g_4}{s'}\right)^2 [m^2 s + \frac{1}{2}(m^2 - u_s)(m^2 - u) + \\ &+ \frac{1}{2}(m^2 - t_s)(m^2 - t)] + \frac{1}{s^2} \left\{ -\frac{4m^2 \chi_+ \chi_-}{\chi'_+ \chi'_-} + \frac{\chi_-(m^2 - t) + \chi_+(m^2 - u)}{\chi'_-} + \right. \\ &+ \frac{\chi_-(m^2 - u_s) + \chi_+(m^2 - t_s)}{\chi'_+} + g_3 [n_r \chi_+(t_s - u) + n_- \chi_-(u_s - t) + n'_-(t) \chi_r + u \chi_+] - \\ &- n'_+ (u, \chi_- + t, \chi_+) + m^2 (\chi_+ + \chi_-)(n'_+ - n'_-) \} + \\ &+ \frac{1}{s'^2} \left\{ \frac{2m^2 \chi_+ + (m^2 - u_s) \chi'_+ + (m^2 - t) \chi'_-}{\chi_-} + \frac{2m^2 \chi_- + (m^2 - u) \chi'_- + (m^2 - t_s) \chi'_+}{\chi_+} + \right. \\ &+ [n'_- \chi'_-(u - t) + n'_+ \chi'_+(t_s - u_s) + 2m^2 (n_r \chi_+ - n_- \chi_-) - n_- (2m^2 \chi_+ + \chi'_+(m^2 - u_s) + \\ &+ \chi'_-(m^2 - t)) + n_+ (2m^2 \chi_- + \chi'_-(m^2 - u) + \chi'_+(m^2 - t_s))] g_4 \} - \\ &- \frac{2}{ss'} \left\{ -t - t_s + u + u_s + \frac{m^2 - u_s}{2} (n_- - n'_+) (\chi'_+ g_3 + \chi'_- g_4) + \right. \\ &+ \frac{m^2 - t}{2} (n_- - n'_-) (\chi'_- g_3 - \chi'_+ g_4) - m^2 (\chi_+ + \chi_-) g_3 g_4 + \\ &\left. + \frac{m^2 - t_s}{2} (n'_+ - n_+) (g_3 \chi'_+ - g_4 \chi_r) + \frac{m^2 - u}{2} (n'_- - n_+) (\chi'_- g_3 + \chi'_+ g_4) \right\}. \end{aligned}$$

Все обозначения даны в тексте (19),

$$g_3 = (9/\chi_-) - (9_r/\chi'_+); \quad g_4 = (P_r/\chi_+) - (P_-/\chi_-).$$

### ПРИЛОЖЕНИЕ VII

Приведем интегралы, необходимые для интегрирования по углам вылета фотона.

$$\mathcal{P} \equiv (z, -z)(z - z_2); \quad z_1 + z_2 = 2Q_z z_+; \quad z_1 z_2 = Q_z^2 + Z_+^2 - 1.$$

$$\int \frac{dz}{\sqrt{\mathcal{P}}} = 2 \int_{z_2}^{z_1} \frac{dz}{\sqrt{\mathcal{P}}} = 2\pi,$$

$$\int \frac{z dz}{\sqrt{\mathcal{P}}} = 2\pi Q_z z_+,$$

$$\int \frac{z^2 dz}{\sqrt{\mathcal{P}}} = \pi (3\alpha_z^2 z_+^2 - Q_z^2 - Z_+^2 + 1),$$

$$\int \frac{dz}{\sqrt{\mathcal{P}}(1 \pm \beta_e z)} = \frac{2\pi}{\sqrt{(z_+ \pm Q_z)^2 + (1 - \beta_e^2)(1 - \alpha_z^2)}},$$

$$\int \frac{dz}{\sqrt{\mathcal{P}}(1 \pm \beta_e z)^2} = \frac{2\pi (1 \pm \alpha_z \epsilon_z)}{[(z_+ \pm Q_z)^2 + (1 - \beta_e^2)(1 - \alpha_z^2)]^{3/2}}.$$

### ПРИЛОЖЕНИЕ VIII

При интегрировании  $d^2\sigma/dv_+ dv_-$  по энергиям с целью получить полное сечение удобны переменные

$$u = v_+, \quad v = v_+ - v_-.$$

При этом область интегрирования (27) будет

$$v^2 < u^2 (1 - \frac{\sigma^2}{1-u}), \quad \Delta < u < 1 - \sigma^2, \quad \sigma^2 = m_\mu^2/\epsilon^2.$$

$$\int dv_+ \int dv_- \rightarrow \frac{1}{2} \int_{\Delta}^{1-\sigma^2} du \int_{-u\sqrt{1-\frac{\sigma^2}{1-u}}}^{u\sqrt{1-\frac{\sigma^2}{1-u}}} dv.$$

ПРИЛОЖЕНИЕ IX

Приведем поправку к упругому сечению. Она складывается из поправки за счет излучения виртуального фотона и поправки за счет излучения реального фотона, как мягкого, так и жесткого в с.ц.и. Причем энергия и угол вылета этого фотона должны быть такими, чтобы угол расколлинеарности между импульсами  $\mu^\pm$ -мезонов в с.ц.и. (угол между  $\vec{q}_+$  и  $-\vec{q}_-$ ) не превышал некоторого  $\Delta\theta$ . Мы будем полагать

$$m/\epsilon \ll \Delta\theta \ll 1$$

Приведенная ниже формула справедлива с точностью до членов, исчезающих в пределе  $\Delta\theta \rightarrow 0$ ,  $(m/\epsilon)^2 \rightarrow 0$ :

$$\frac{d\sigma_{e^+e^- \rightarrow \mu^+\mu^-}}{d\cos\theta} = \left( \frac{d\sigma_0}{d\cos\theta} e^{e^+ \rightarrow \mu^+\mu^-} \right) (1 + \delta),$$

$$\delta = \frac{2\alpha}{\pi} \left\{ \left[ \ln \frac{\Delta\theta}{\sin\theta} + \frac{13}{12} \right] \ln \frac{s}{m_e^2} + \frac{1}{3} \ln \frac{s}{m_e^2} - (\ln(\Delta\theta))^2 + C_1 \ln(\Delta\theta) + C_2 + \ln \sin\theta - (\ln \operatorname{ctg} \frac{\theta}{2})^2 + \frac{1}{2} (\ln(1 + \cos\theta))^2 - \frac{1}{4} \int_0^{\sin^2\theta} \frac{dx}{x} \ln(1-x) \right\};$$

$$C_1 = 2 \ln 2 - \frac{5}{2} = -1,114; \quad C_2 = -\frac{1}{2} \ln^2 2 + \frac{3}{2} \ln 2 - \frac{47}{18} = -1,811;$$

$$\frac{d\sigma_0}{d\cos\theta} = \frac{\pi \alpha^2}{2s} (1 + \cos^2\theta).$$

ПРИЛОЖЕНИЕ X

Рассмотрим распределение по углу  $\theta = \hat{q}_+, \hat{q}_-$  - углу между импульсами мезонов в с.ц.и. Из уравнения

$$\cos\theta = 1 - 2(1-v)(v_+v_-)^{-1}, \quad v_+ + v_- + v = 2$$

находим

$$(1-v_+)(1-v_-) = (1-v) \operatorname{ctg} \frac{\theta}{2}; \quad dv_+ dv_- = \frac{(1-v)}{\sqrt{X}} \frac{(1+v)^2}{4} dv d\cos\theta$$

$$X = \frac{v^2}{4} - (1-v) \operatorname{ctg} \frac{\theta}{2}$$

Для искомого распределения получим

$$\frac{d\sigma}{d\cos\theta} = \frac{\alpha^3}{2s} \frac{1}{4 \sin^4 \theta/2} \int_{v_0}^1 dv \frac{(1-v) J(v, p)}{\sqrt{X}}, \quad v_0 = 2(\sqrt{p^2 + p} - p)$$

$$(1-v) J(v, p) = -8(1-v)/3 + 4[1+(1-v)^2]/3p + (8p-16)(1-v)/v^2 + 64p(1-v)^2/v^4 - 4 + [4+8(1-p)(1-v)|v^2 - 16p(1-v)^2/v^4|] \ln \frac{s}{m_e^2}$$

Переходя к новой переменной,

$$v = \frac{x^2 + p}{x + p}; \quad \int_{v_0}^{v_0/2} \frac{dv}{v} = 2 \int_0^{v_0/2} \frac{dx}{x+p}$$

После стандартного интегрирования [9], I20-I25.9 приходим к выражению (41).

Таблица ( $\sqrt{S} = 3$  ГэВ)

$\theta$	$\frac{S}{\omega^3} \frac{d\sigma^{odd}}{d\cos\theta}$	$\frac{2S}{\omega^3} \frac{d\sigma}{d\theta}$	$\theta$	$\frac{S}{\omega^3} \frac{d\sigma^{odd}}{d\cos\theta}$	$\frac{2S}{\omega^3} \frac{d\sigma}{d\theta}$
0			90	0	28.8
5	-24.4		95	0.4	30.9
10	-20.4		100	0.84	33.6
15	-17.6		105	1.33	36.9
20	-15.4	421	110	1.91	41
25	-13.3	218	115	2.61	46.2
30	-11.5	129	120	3.43	52.6
35	-9.8	84	125	4.4	60.8
40	-8.2	60	130	5.5	71.5
45	-6.78	45	135	6.78	86
50	-5.5	37	140	8.2	106
55	-4.4	31	145	9.8	136
60	-3.43	28	150	11.5	181
65	-2.61	26	155	13.3	258
70	-1.91	25.6	160	15.4	403
75	-1.33	25.5	165	17.6	
80	-0.84	26.1	170	20.4	
85	-0.4	27.2	175	24.4	

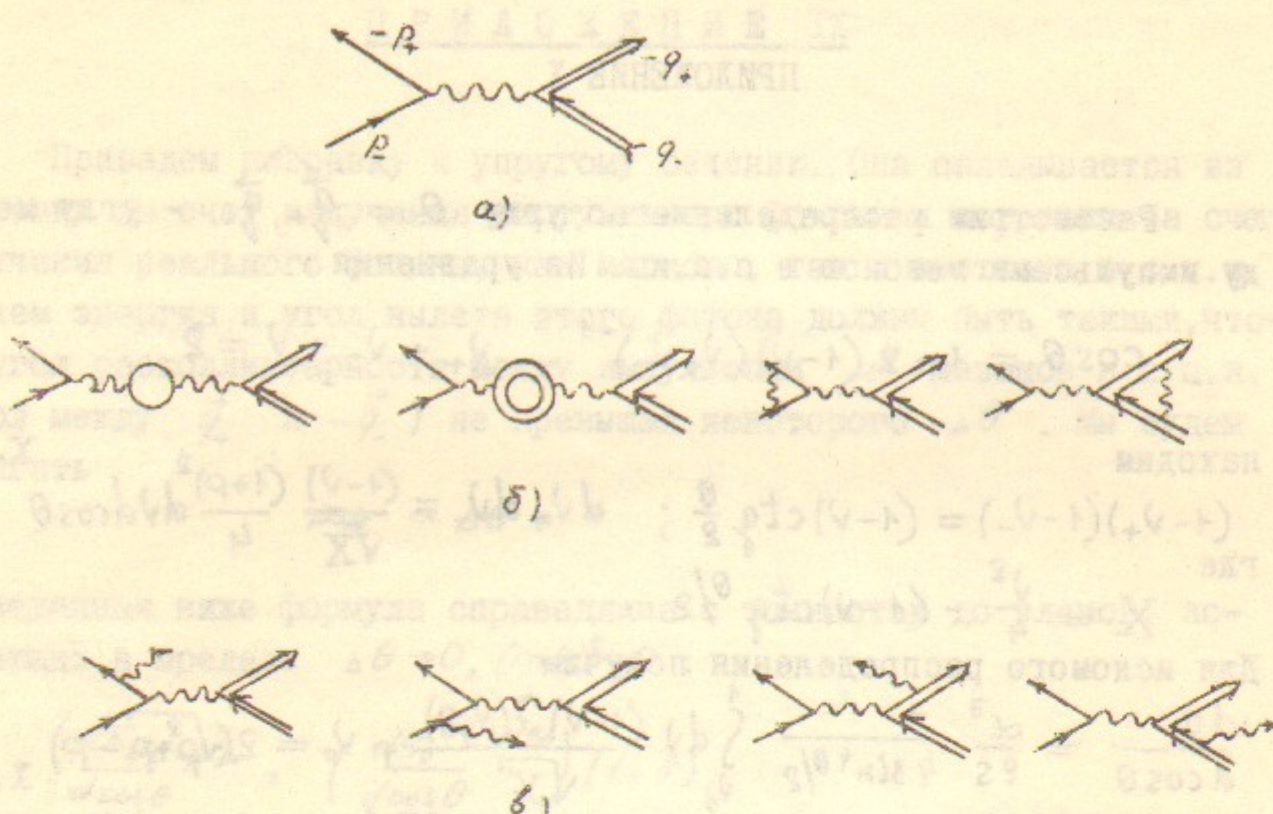


Рис. 1

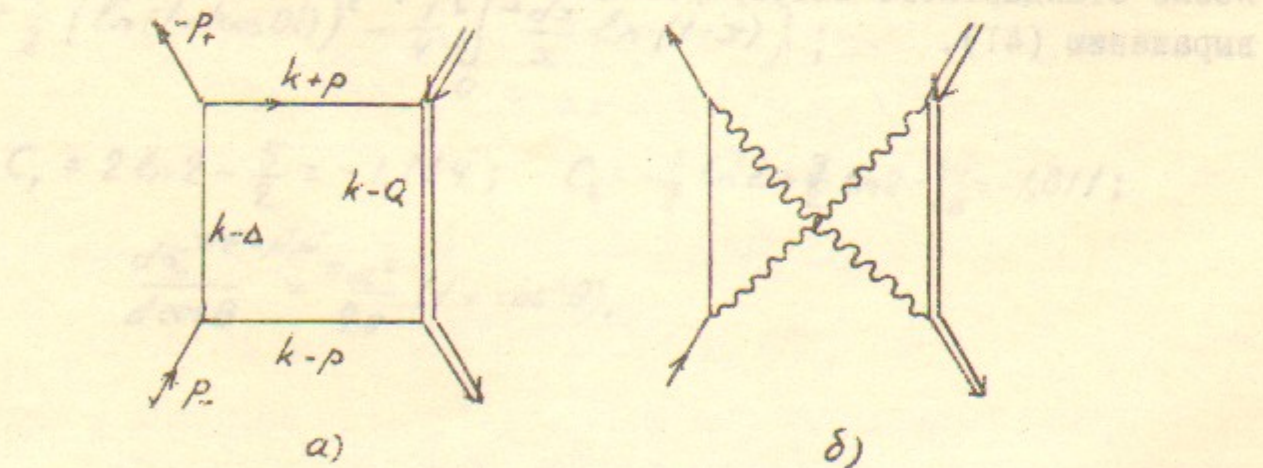


Рис. 2

1975 год - выход в свет  
издания УЧМЗ - зонтик из французского  
издательства "Издательство Университета  
и Академии наук Франции".  
На обложке изображены  
авторы: А.Л. Борисов, А.А. Красильников,  
А.А. Смирнов, А.А. Смирнов, А.А. Смирнов  
и А.А. Смирнов.

(651 б-74) выходит

№ 23	№ 24	№ 25	№ 26	№ 27	№ 28
95	95	95	95	95	95
8.95	0.1	95		0	
2.05	4.0	95		5.15-	0
0.95	6.1	95		6.75-	0
1.15	10.1	95	105	8.85-	0
5.35	10.5	95	95	8.65-	0
0.95	10.6	95	95	8.15-	0
2.05	11.4	95	105	8.5-	0
3.15	12.5	95	105	8.8-	0
0.95	12.5	95	95	8.3-	0
2.05	13.8	95	95	8.3-	0
2.95	13.8	95	11	8.3-	0
1.15	13.11	95	85	64.6-	0
0.95	13.11	95	85	74.8-	0
2.05	14.01	95	8.85	10.1-	0
2.15	14.01	95	6.85	68.7-	0
2.05	14.01	95	1.85	10.0-	0
2.15	14.01	95	1.85	1.0-	0

Работа поступила - 25 июня 1976г.

Ответственный за выпуск - С.Г.ПОПОВ  
Подписано к печати 27.9.1976г. № 02980  
Ус. 2,0 печ.л., 1,00 учетно-изд.л.  
Тираж 150 экз. Бесплатно  
Заказ №94

Отпечатано на ротационном ИМФ СО АН СССР